

初代星初代銀河研究会
@札幌
2023年11月20日



宇宙初期の星形成

大向 一行
東北大・天文



Theoretical Astrophysics
Tohoku University

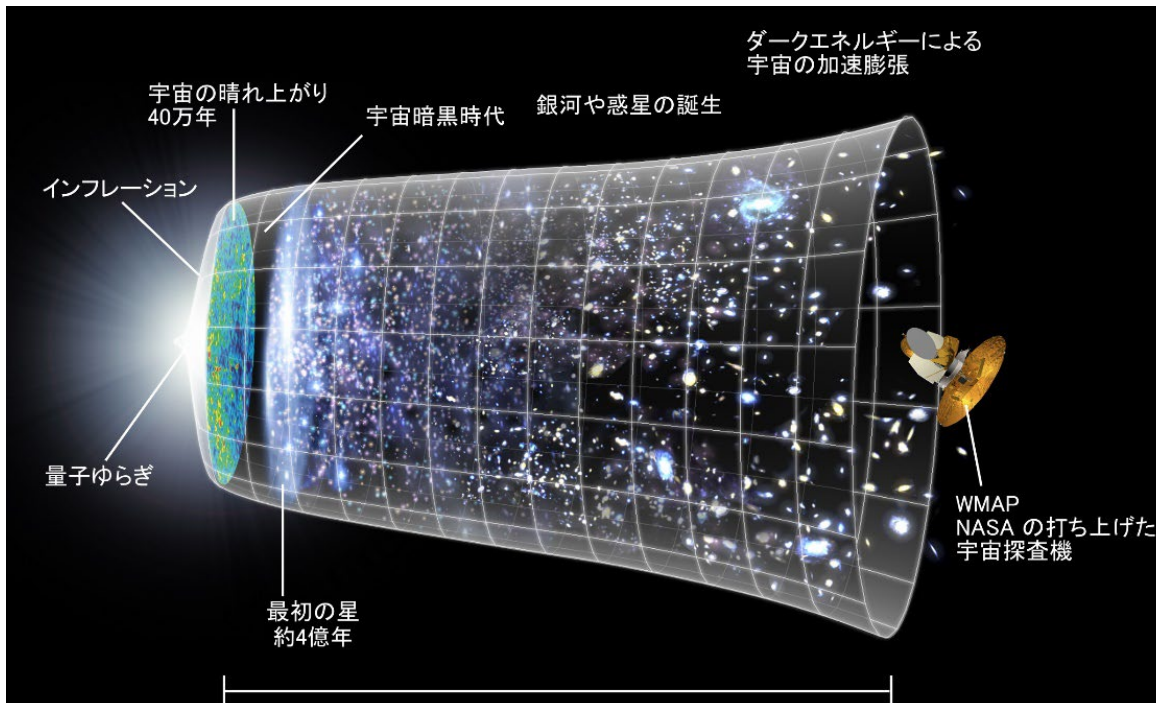


內容

- 背景
- 初代星形成
- 種族II星形成
- 超大質量星形成

初代星(種族III星)

- 宇宙最初の重元素＆ダスト源
 - 以後の星間ガスの性質を変える
- 宇宙最初の輻射源
 - 宇宙再電離、IGM/ISMの加熱などフィードバック
- 観測的には、初期銀河、GRBなど遠方天体、銀河考古学による低金属度星との関連が話題。
- 重力波検出にともない大質量BH連星の起源としても注目
- 巨大ブラックホールの起源としても注目



初代星研究簡史

前史 種族II星中の重元素の起源として提唱された
(Schwarzschild & Spitzer 1953)



第一波 (60年代後半ごろから5年ほど)

Big Bang宇宙論の確立により、まじめに形成過程が考えられる始める

[平沢、会津&武谷(1968)、松田、佐藤&武田(1969)、
米山(1972)など]

ビッグバン宇宙論、H₂形成・冷却の重要性

第二波 (80年代前半ごろから5年ほど)



80年代にもいくつか重要な研究がなされた。

[吉井&佐場野(1980)など]

CDMモデル、H₂形成の3体反応



松田卓也 (1943-)



佐藤文隆 (1938-)



吉井 譲 (1951-)



第三波 (90年代後半以後、もうすぐ30年)

1990年後半(1996頃-)以後は宇宙論的シミュレーションの延長、また次世代観測プロジェクトのターゲットとして話題。

[今回もたくさんのお話が紹介されるでしょう！]

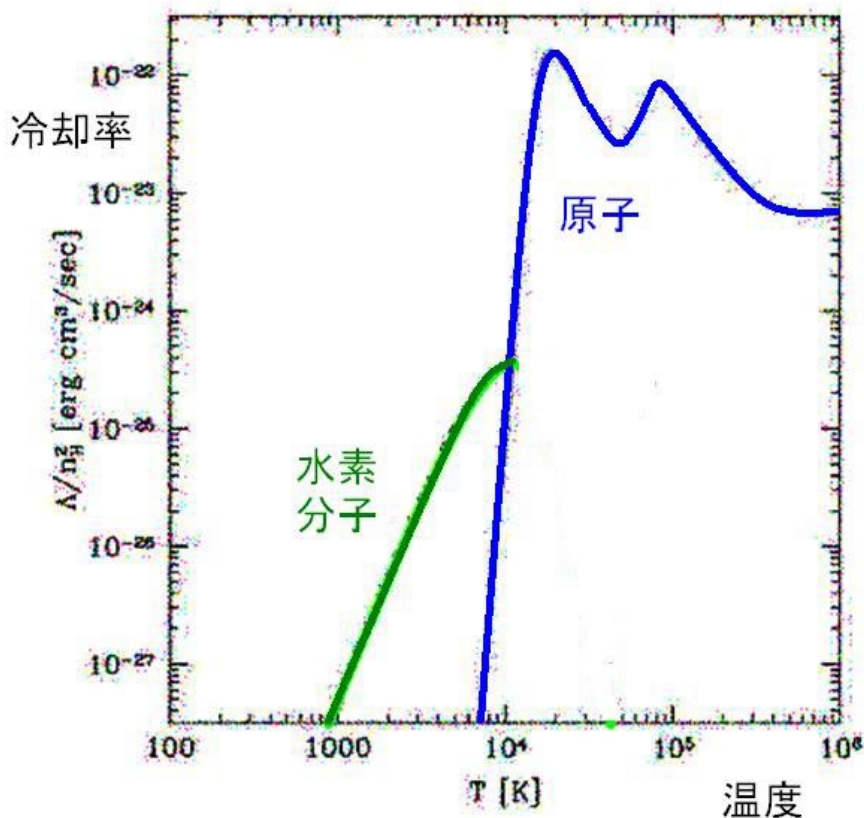
宇宙論的3次元計算によるコア形成、原始星コラプス、
フィードバックによる降着の終了と質量の確定

国際会議 “First Stars”(4年ごと): Munich(I, 1999), Penn State(II, 2003), Santa Fe(III, 2007),
Kyoto(IV, 2012), Heidelberg(V, 2016), Concepcion (VI, 2020), New York(VII, 2024)

「初代星初代銀河研究会」 2006から毎年開催
(今回で18回目: 前史もあります)

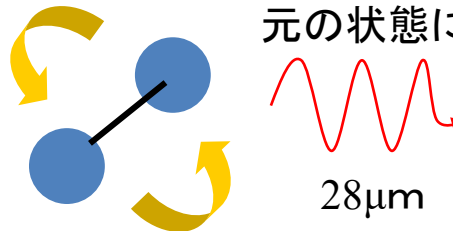
始原ガスの輻射過程

始原ガスの輻射冷却率



- 原子冷却: $T > 10^4 \text{ K}$:
- H_2 冷却: それ以下

水素分子(H_2)
回転放射



衝突により回転状態
が励起される
(第一励起エネルギー
0.044eV; 512K)

始原ガス中のH₂形成過程

低密度(<10⁸cm⁻³)では、

H⁻ チャネル : e を触媒 (Peebles & Dicke 1968; Hirasawa+1969)



反応率はこっちが一桁ほど大

H₂⁺ チャネル : H⁺ を触媒 (Saslaw & Zipoy 1967) 初代星形成の記念碑的論文



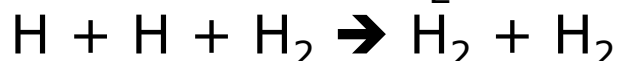
輻射場が強い場合にこっちが効くときもある

高密度(>10⁸cm⁻³)では、

3体反応 (Palla, Salpeter & Stahler 1983)



高密度ではこれで全部分子になる



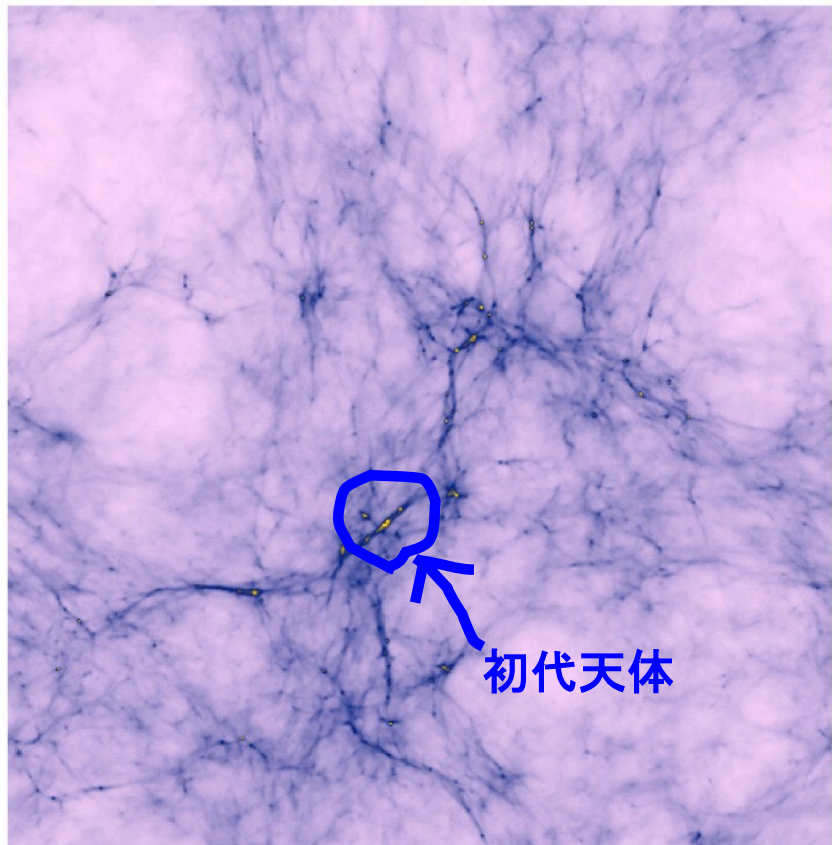
3体反応の存在自体は
Saslow&Zipoy (1967)も
既に認識していた

Hitherto, H₂ has not been considered a component of the pre-galactic medium. This was because the time scales for appreciable amounts to form in three-body reactions or in radiative association are always greater than the Hubble age (for example, ref. 8), and there are no grains to speed the reactions. Any H₂ formed in the uniform background is dissociated by the radiation,

初代天体の誕生

Λ CDMモデル

密度揺らぎから初代天体の形成までシミュレーション



↑
600 $h^{-1} \text{kpc}$
↓

ヴィリアル温度が
1000K以上のハロー
(ミニハロー;
 $\sim 10^6 M_{\text{sun}}$, $z \sim 20-30$ で誕生)

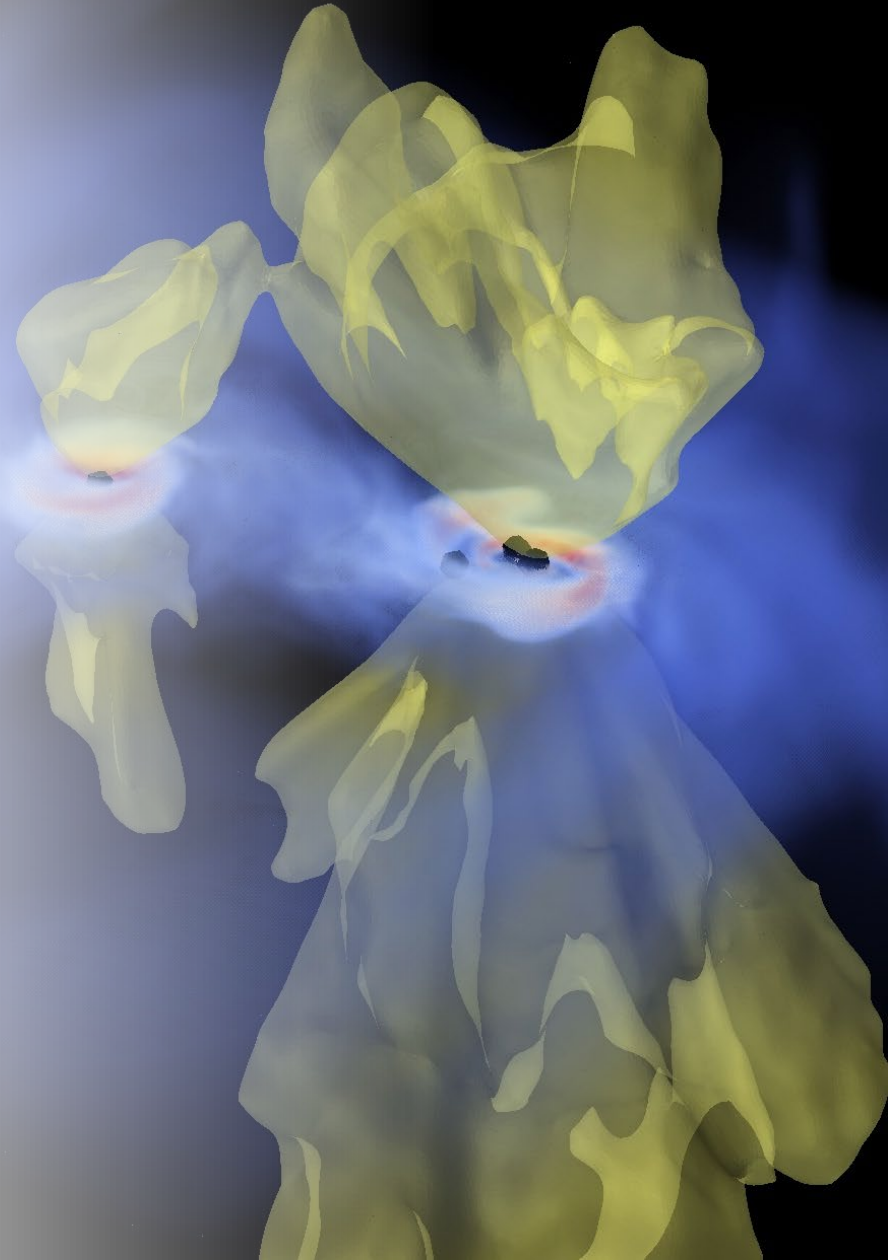
水素分子(H_2)の回転遷移
輝線放射により冷却、
重力収縮により高密度に

→初代星形成へ

Yoshida, Abel, Hernquist & Sugiyama (2003)

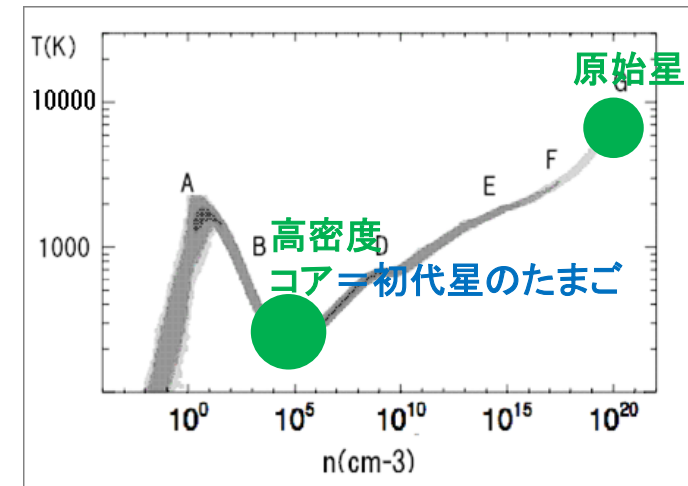
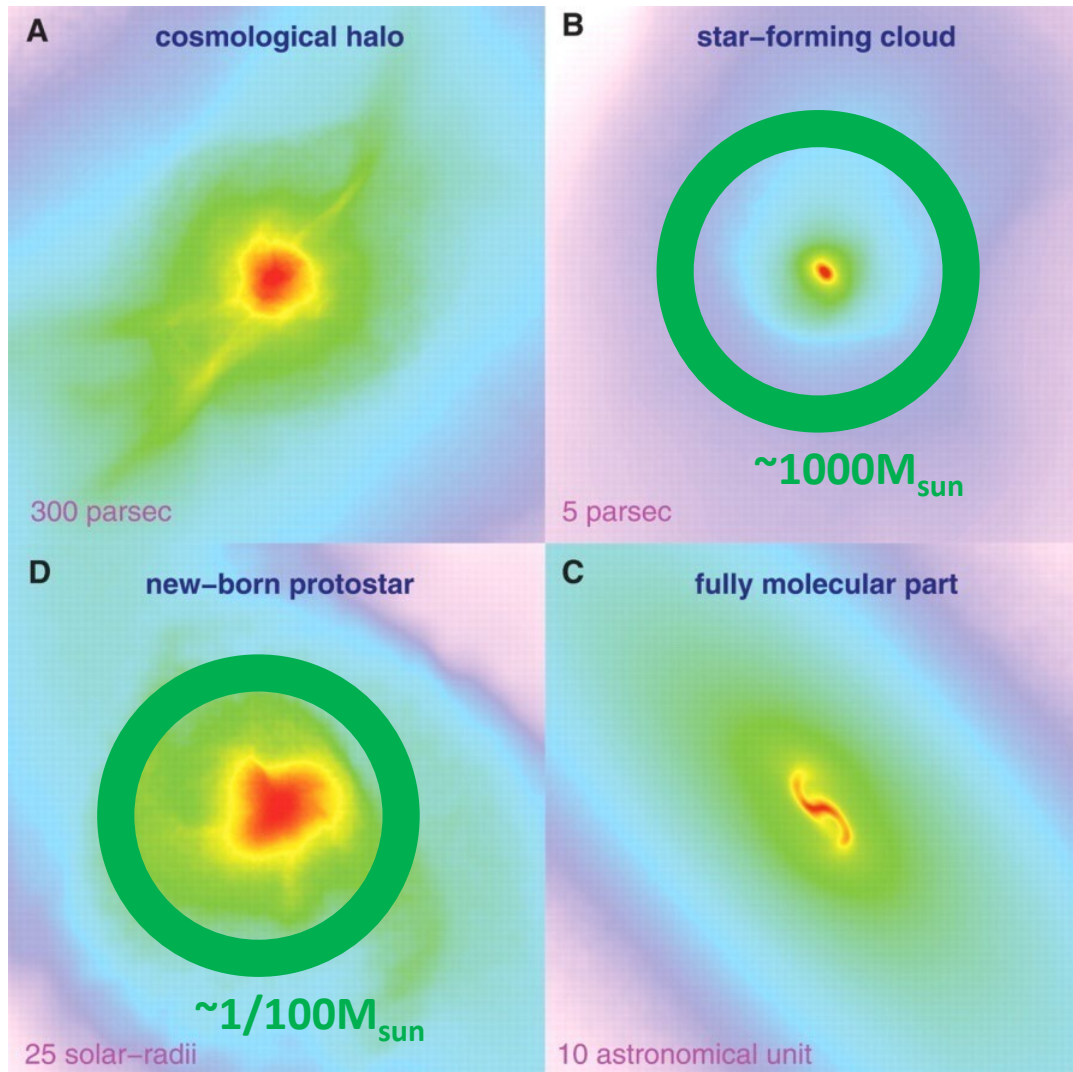


Part I: Formation of First Stars



重力収縮と原始星の誕生

温度進化

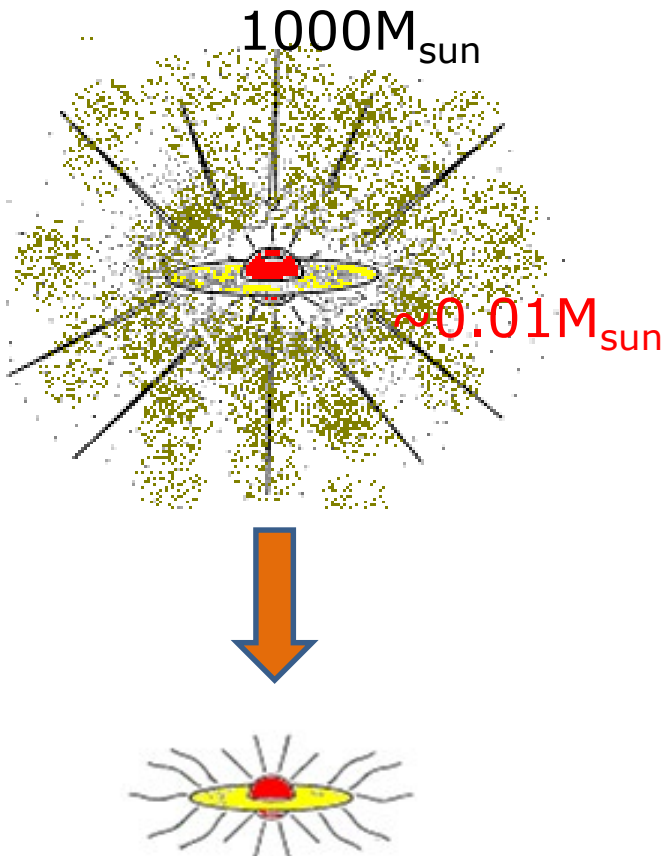


- H_2 冷却により
数密度 $\sim 10^4 \text{cm}^{-3}$ で、
質量 $\sim 1000 M_{\text{sun}}$
の高密度コアが形成
- その中で密度 $\sim 10^{21} \text{cm}^{-3}$ 時
原始星が誕生
(初期質量 $\sim 10^{-2} M_{\text{sun}}$)
これは現在の星形成と同じ



吉田、大向、
Hernquist 2008

原始星の降着成長



原始星降着の終了
→ 星質量が決まる

始原ガス ($Z=0$)

ダストなし, 低オパシティ

⇒ 輻射圧弱い

高いガス温度 (数100K)

⇒ 高い降着率

$$\dot{M} \sim \frac{M_J}{t_{ff}} = \frac{c_s^3}{G} \sim 2 \times 10^{-6} M_{\odot}/\text{yr} \left(\frac{T}{10K} \right)^{3/2}$$

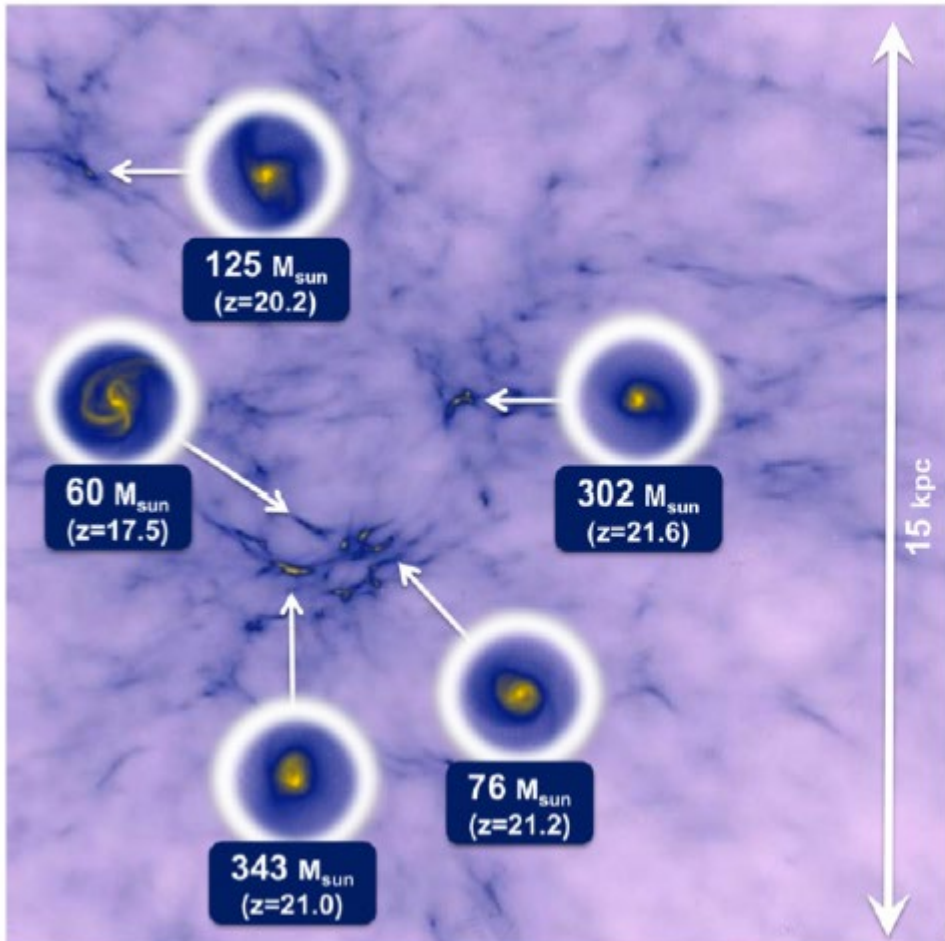
これらの効果

原始星フィードバックを弱める

→ **大質量星の形成が期待**
どれくらいか？

UV feedback sets the final stellar mass

3D cosmological simulation
+2D radiation hydro simulation
for star formation

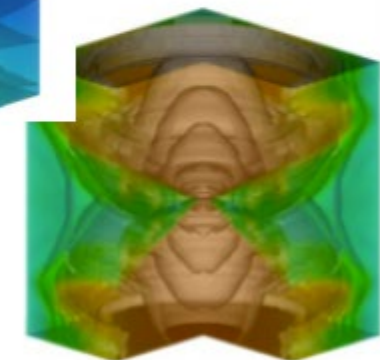
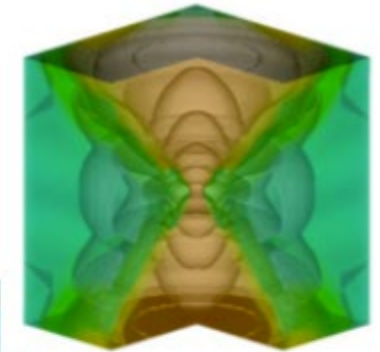


Hirano et al. (+KO)
2014, 2015 studied
hundreds of halos.



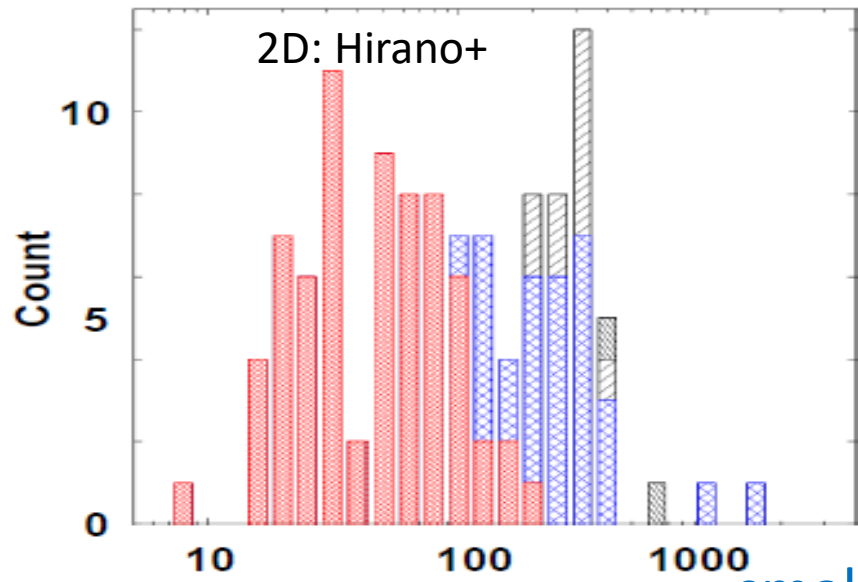
bipolar
HII regions

(b)



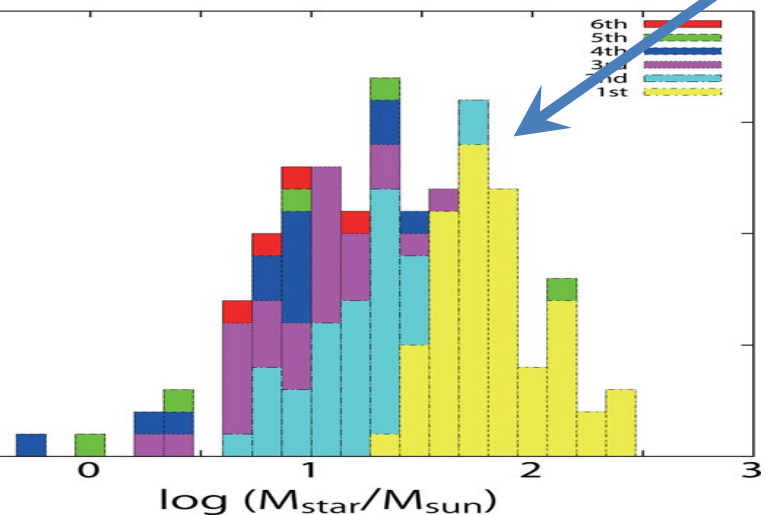
The UV feedback finally shuts off the mass accretion in all the cases

Pop III star IMF



Pop III stars
in a broad range of mass;
a few 10s- 100s M_{\odot}
but
this was 2D simulation

3D: Susa+2014



smaller masses in
3D simulations (Susa+2014)
(but HII region propagation is
not accurately followed)

3D simulations with
multiple radiation sources
are needed.

multi-source hydro simulation

Sugimura +(KO). 2020 & 2023

AMR hydrodynamics

+ stellar evolution (sink particles)
(Matsumoto 07 etc.)

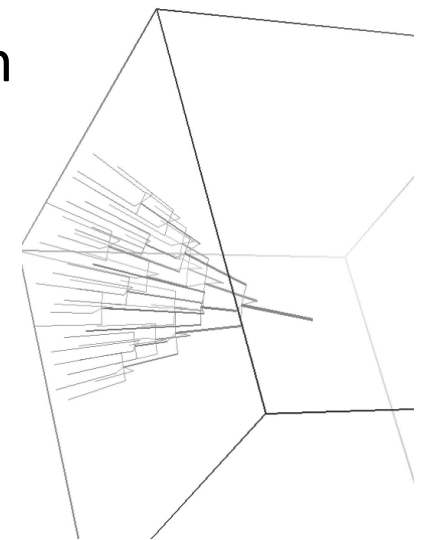


+ Radiative transfer with multiple sources

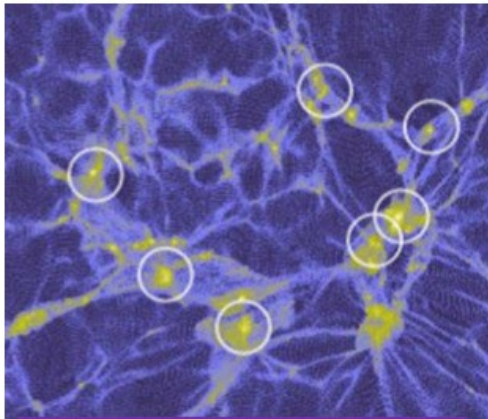
for EUV (H ionizing) & FUV (H₂ dissociating) radiation
by adaptive ray-tracing (ART) method
(e.g., Abel & Wandelt 02; Rosen et al. 2017)

+ Primordial gas microphysics

chemistry network & cooling/heating processes

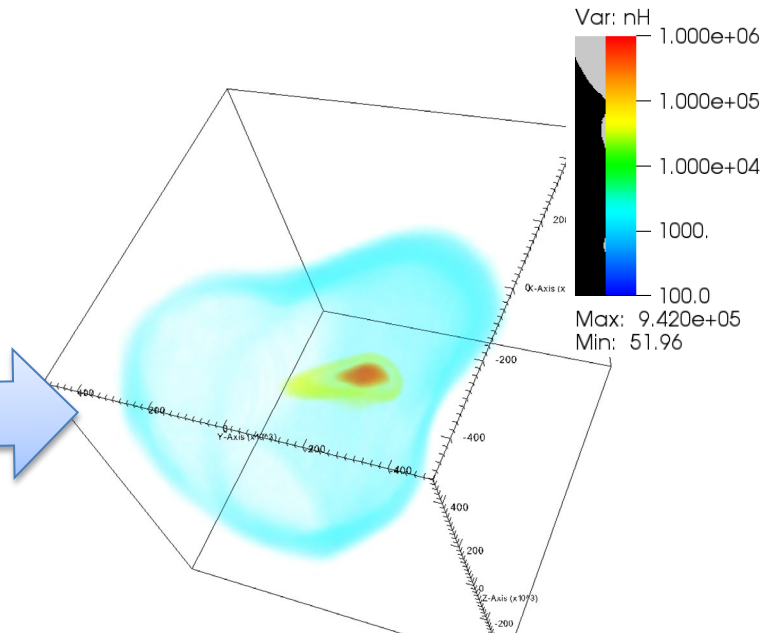


initial conditions



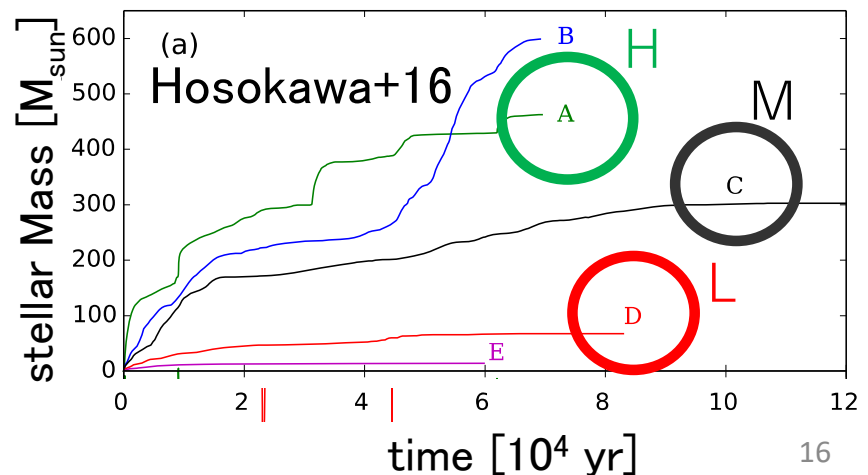
cosmological simulations
with Gadget (Hirano+15)

minihalo@ $n_{cen} = 10^6 \text{ cm}^{-3}$

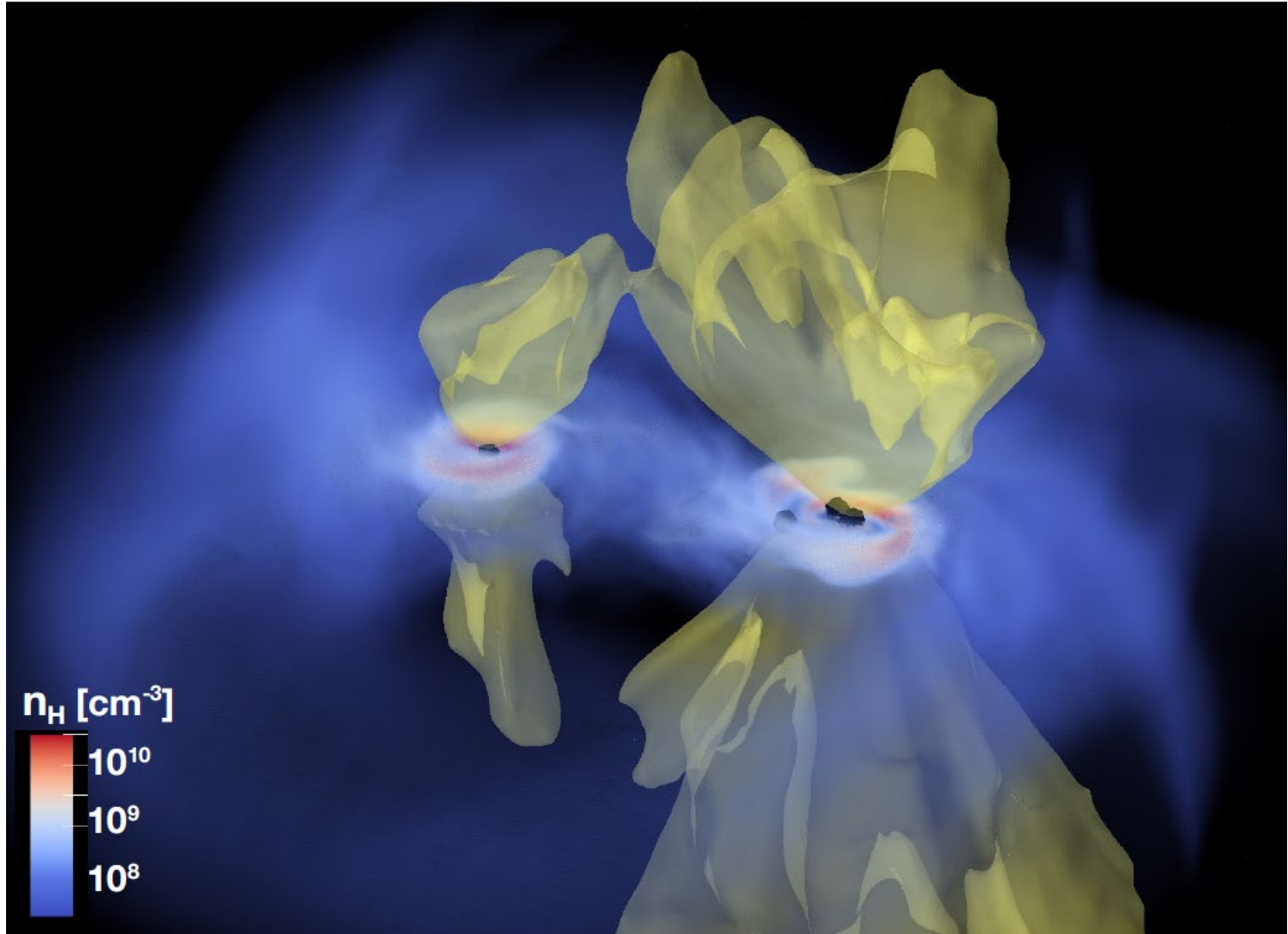


our initial condition

We pick up 3 minihalos as the initial conditions, which hatched **high-mass (H)**, medium-sized (**M**), low-mass (**L**) stars in 3D simulation with only central UV source (Hosokawa+16)



初代星の連星形成($M_{\text{case}}=70+60M_{\odot}$)



Evolution of Protostars

evolution stages

(a) gravitational collapse



(b) early fragmentation



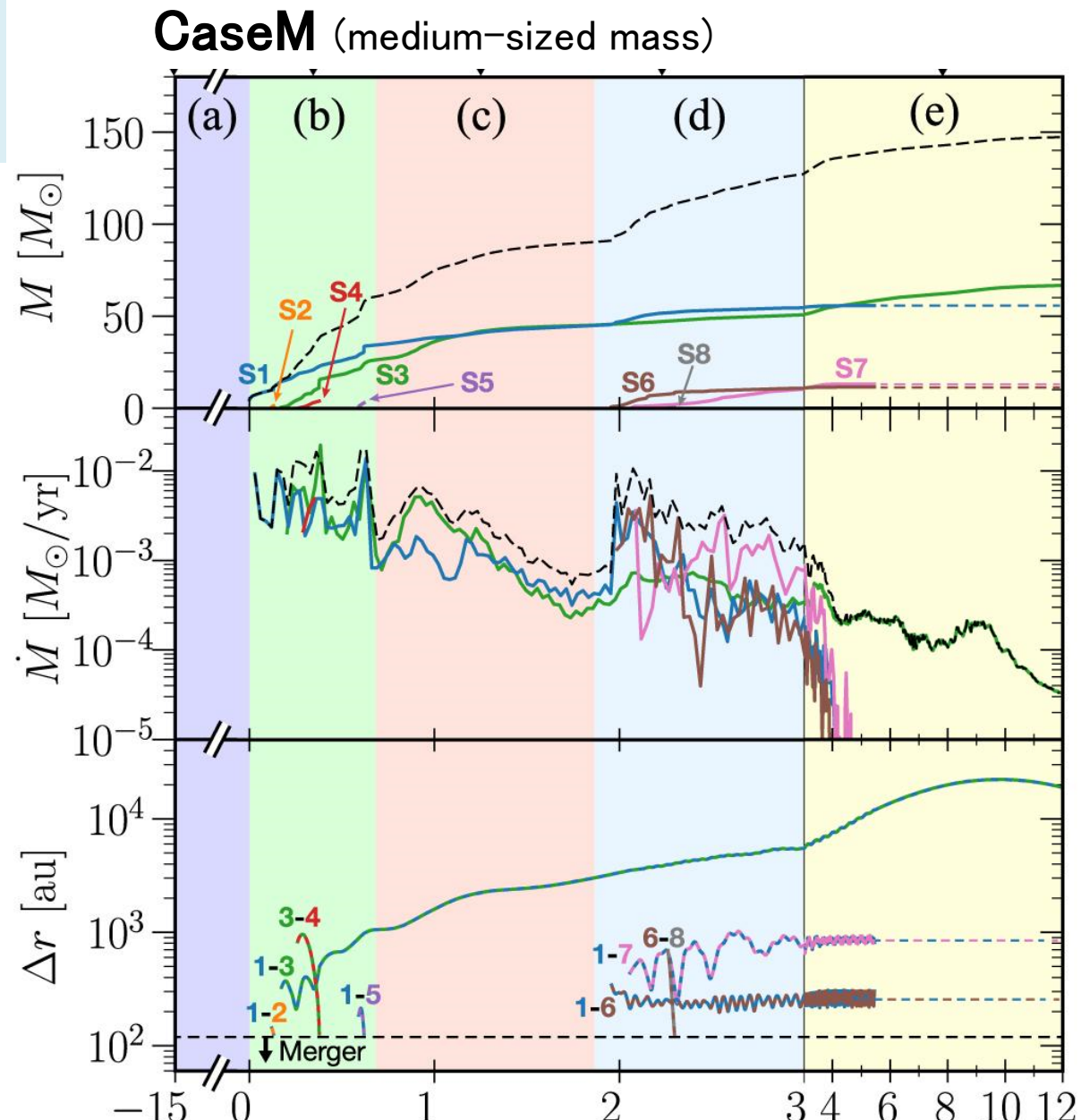
(c) binary accretion



(d) late fragmentation



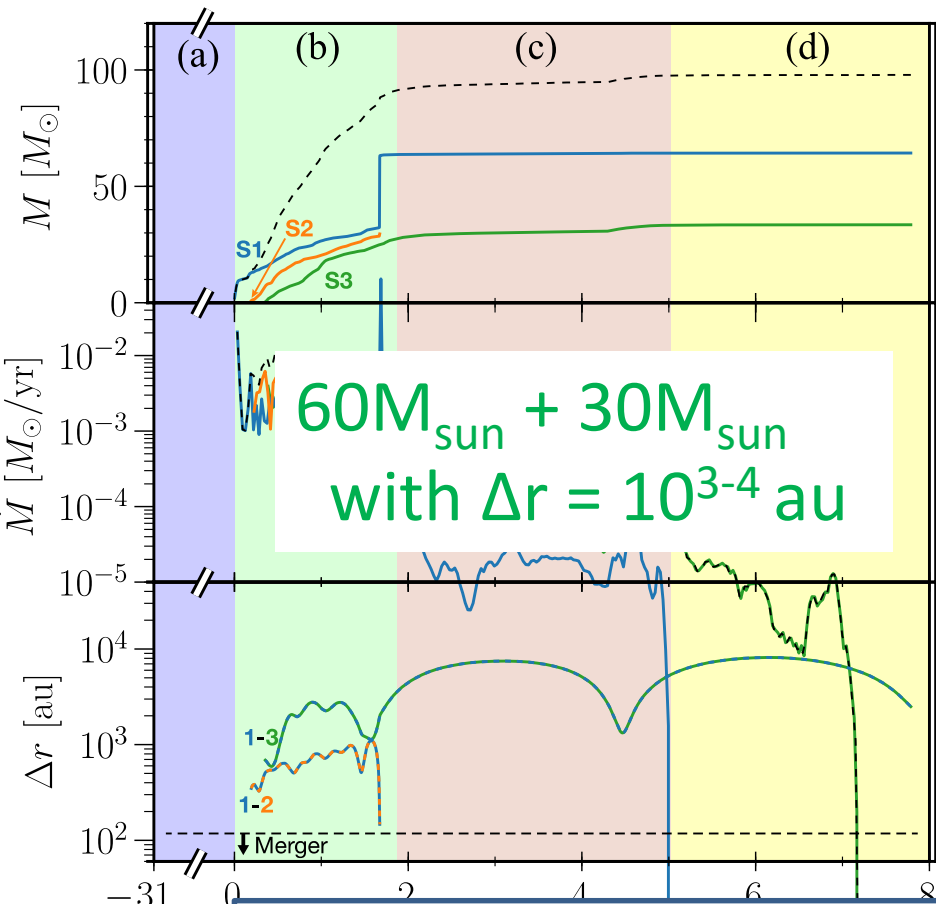
(e) photo-evaporation



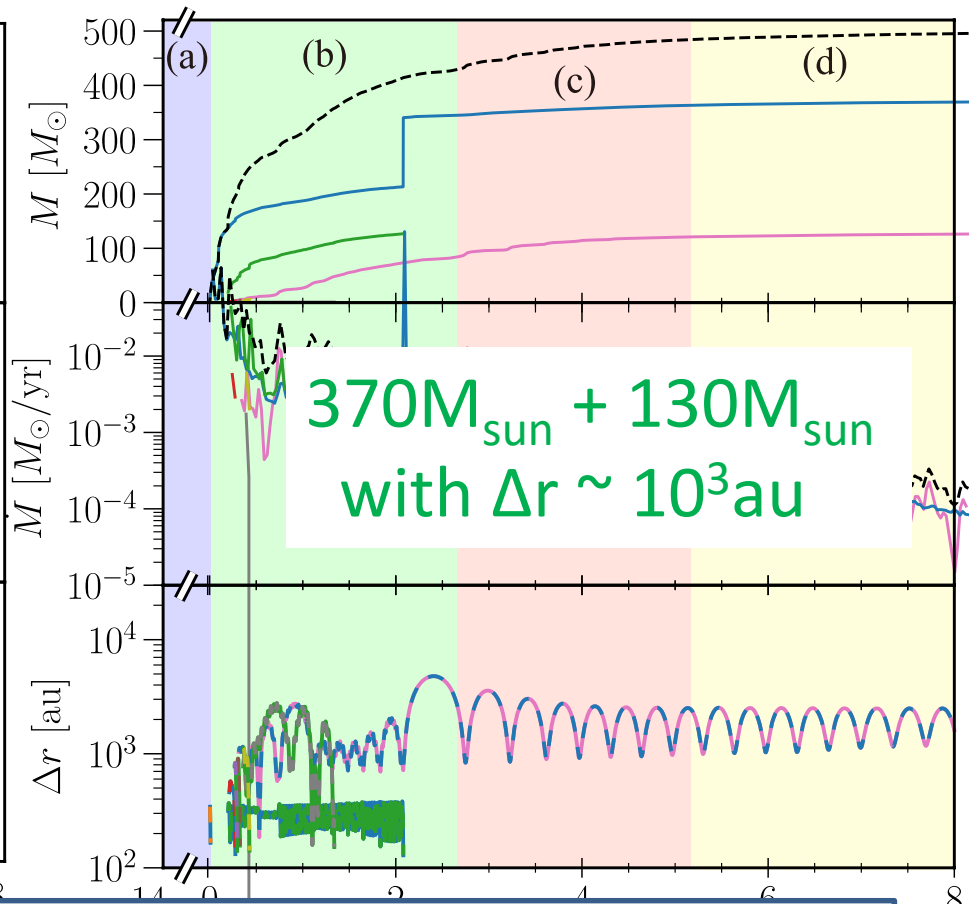
$70M_{\odot} + 60M_{\odot}$ with $\Delta r = 10^4$ au

other cases

case L (low-mass)

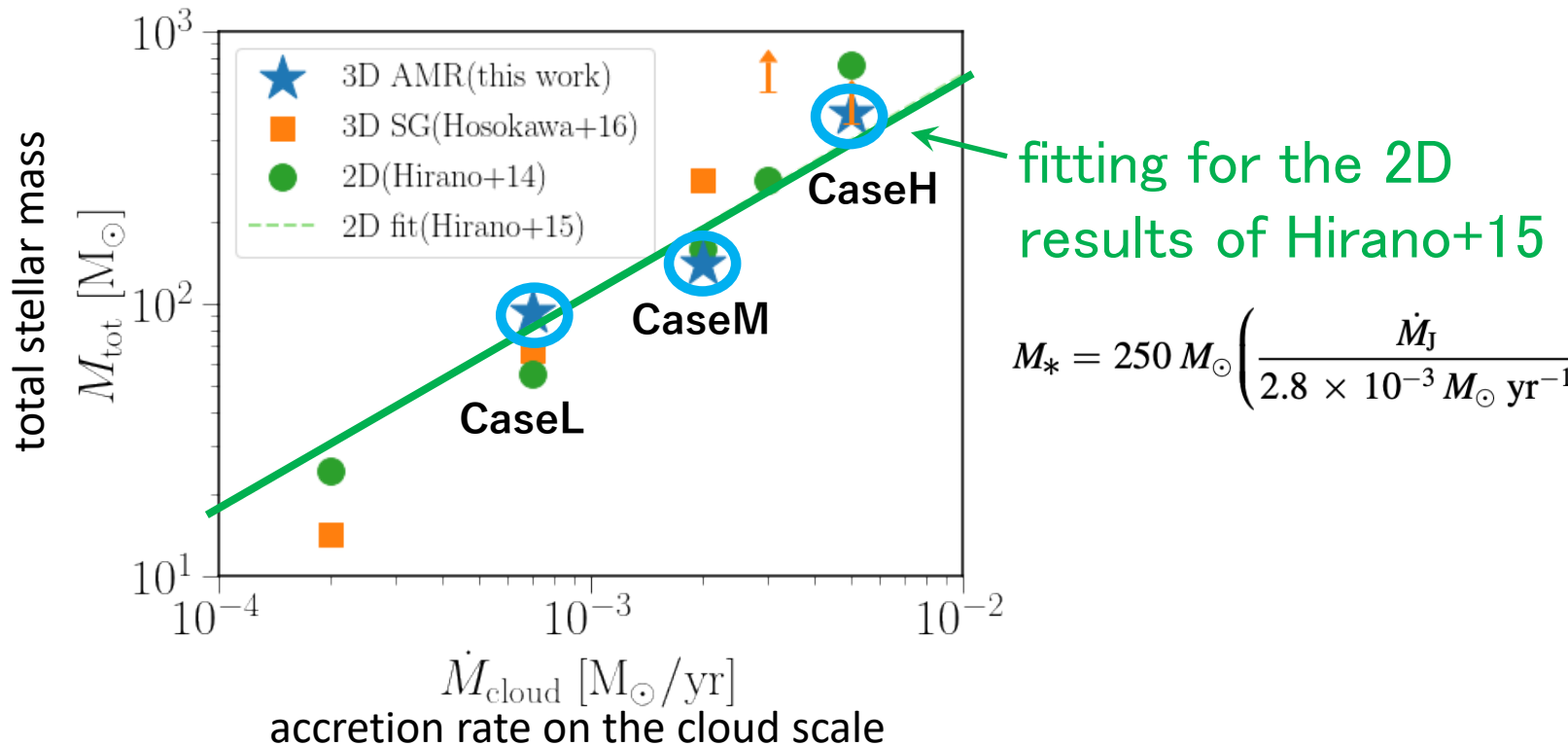


case H (high-mass)



Massive (& wide) binaries are common
among first stars

comparison with 2D simulation

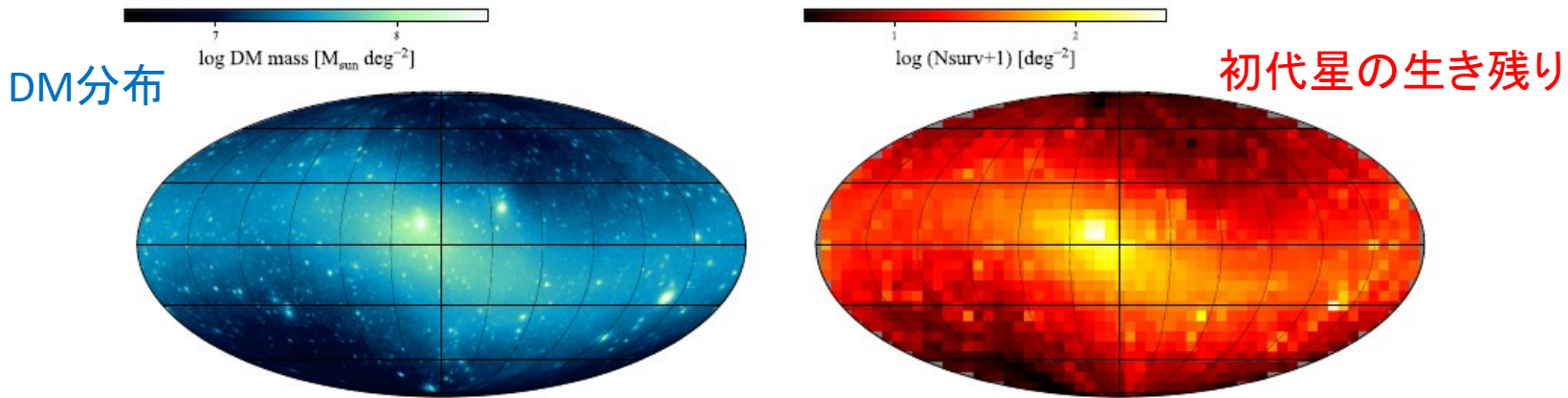


- ◆ 合計質量は2Dの場合とよく合っている
- ◆ 3Dの場合はこの質量はいくつかの星に分配（主に2個の星）

低質量種族III星は本当に存在したか？

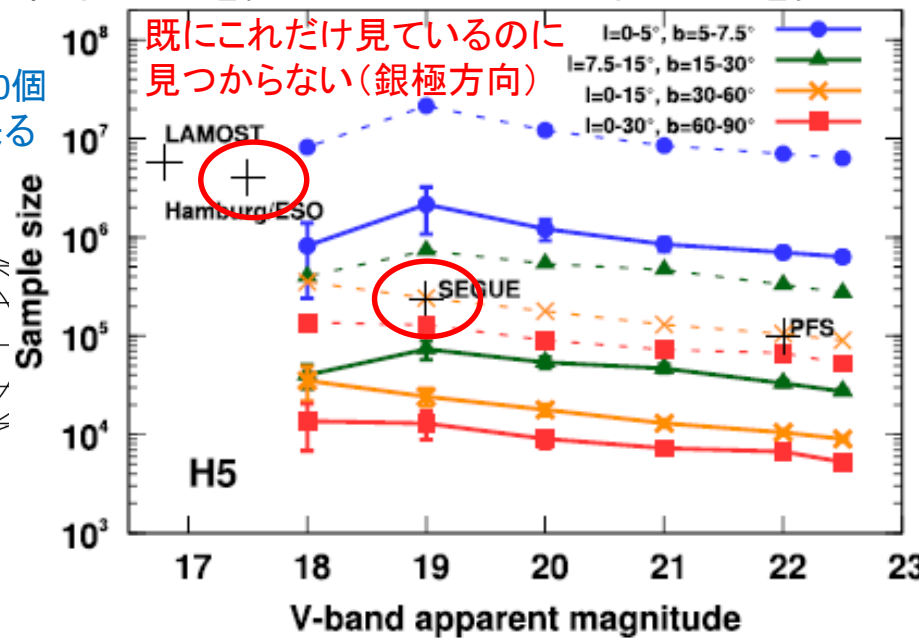
宇宙論的N体シミュレーション→銀河系中の低質量初代星分布

Ishiyama et al. (2016)

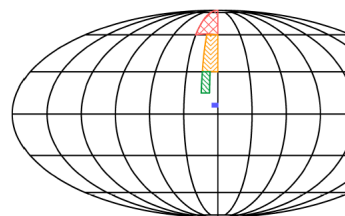


種族III星を見つけるためには何個星を見ればいいか？

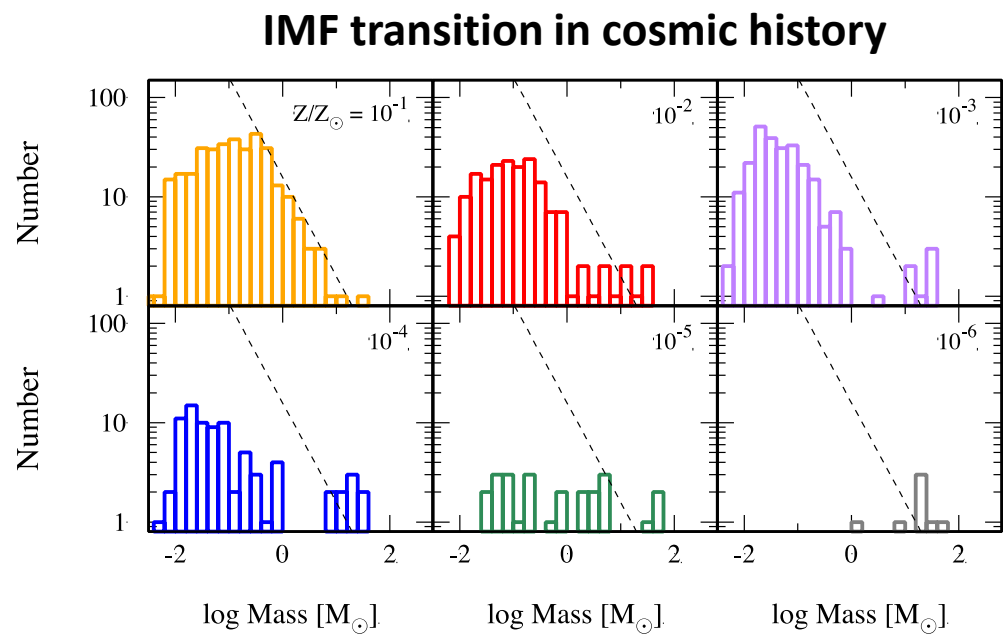
ミニハロー中に
破線:1個、実線:10個
低質量初代星出来る



ミニハローにつき
何個も初代星が出来るモデル
棄却される



Part II: Formation of Pop II Stars

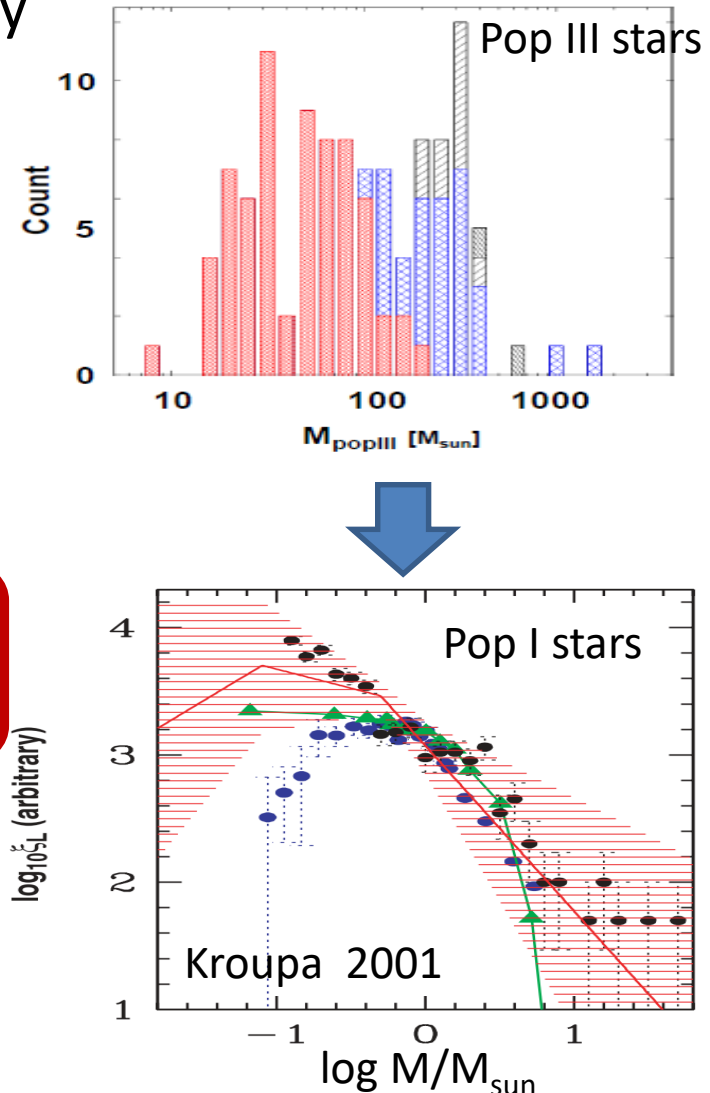


stellar mass at different epochs

- **First Pop III stars**
are massive ($\sim 100 M_{\text{sun}}$) according to theory
- Low-mass very-metal-poor **Pop II stars**
are present in MW and other galaxies
- **Pop I stars** in the solar neighborhood
are mostly low-mass ($0.1-1 M_{\text{sun}}$)

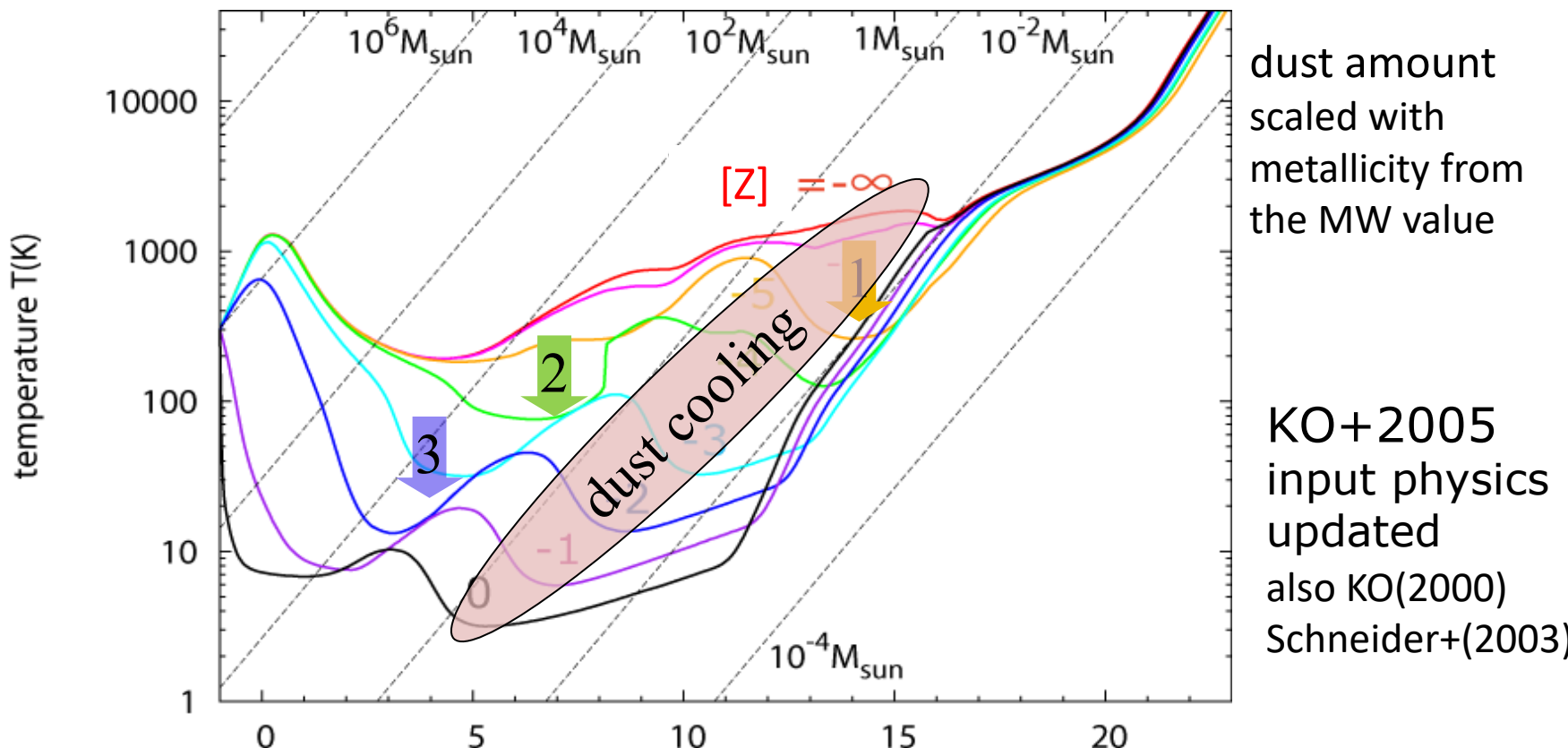
transition of characteristic stellar mass
in the cosmic history “**Pop III-II transition**”

mechanism?
probably caused by accumulation of
metals and dusts in ISM



Thermal evolution of clouds with different metallicities

- 1) cooling by dust thermal emission: $[Z] > -5$
- 2) H_2 cooling formed on dust surface : $[Z] > -4$
- 3) cooling by metal lines (C and O): $[Z] > -3$



Rapid temperature drop causes fragmentation
→ **dust cooling produces low-mass fragments**

star cluster formation at low metallicities: hydro simulations

numerical setup

- SPH + N-body simulation (by Gadget 3)
 - sink particle (at $n = 2 \times 10^{16} \text{ cm}^{-3}$, radius : $\sim 1 \text{ au}$) merger
- low-metallicity gas microphysics
 - primordial-gas chemistry +dust (e^- , H, H^+ , H_2 , H^- , D, D^+ , HD)
 - radiative process
 - primordial gas cooling
 - metal line cooling (CII, OI)
 - dust cooling

Cases studied:

- Metallicity $\log Z/Z_\odot = -1, -2, -3, -4, -5, -6$
- Initial condition : Bonnor-Ebert sphere

with trans-sonic turbulence

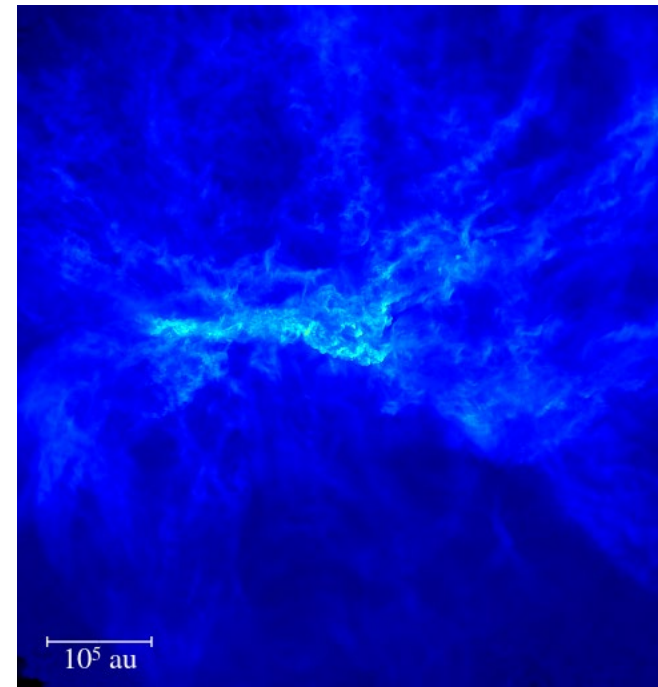
$$E_{\text{turb}} / E_{\text{grav}} = 1, E_{\text{th}} / E_{\text{grav}} = 0.7, E_{\text{rot}} / E_{\text{grav}} = 0.001, P(k) \propto k^{-4}$$

$$M_{\text{cloud}} = 1950 M_\odot, R_{\text{cloud}} = 10 \text{ pc}, n_{\text{cloud}} = 10^4 \text{ cm}^{-3}, T = 200 \text{ K}$$

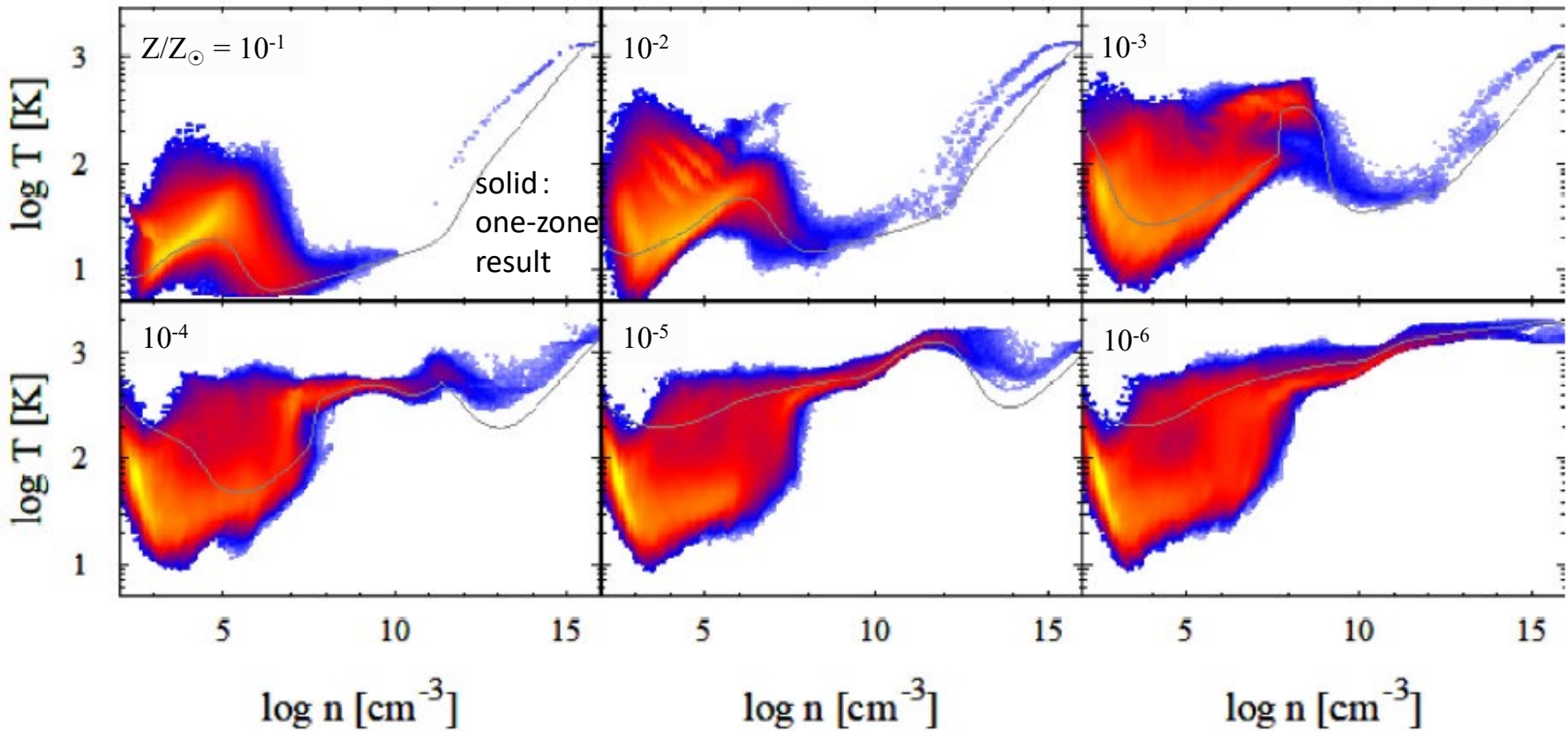
Chon, KO & Schneider (2021)



see also
Tsuribe & KO(2006),
Clarke+(2008),
Dopke+(2013)

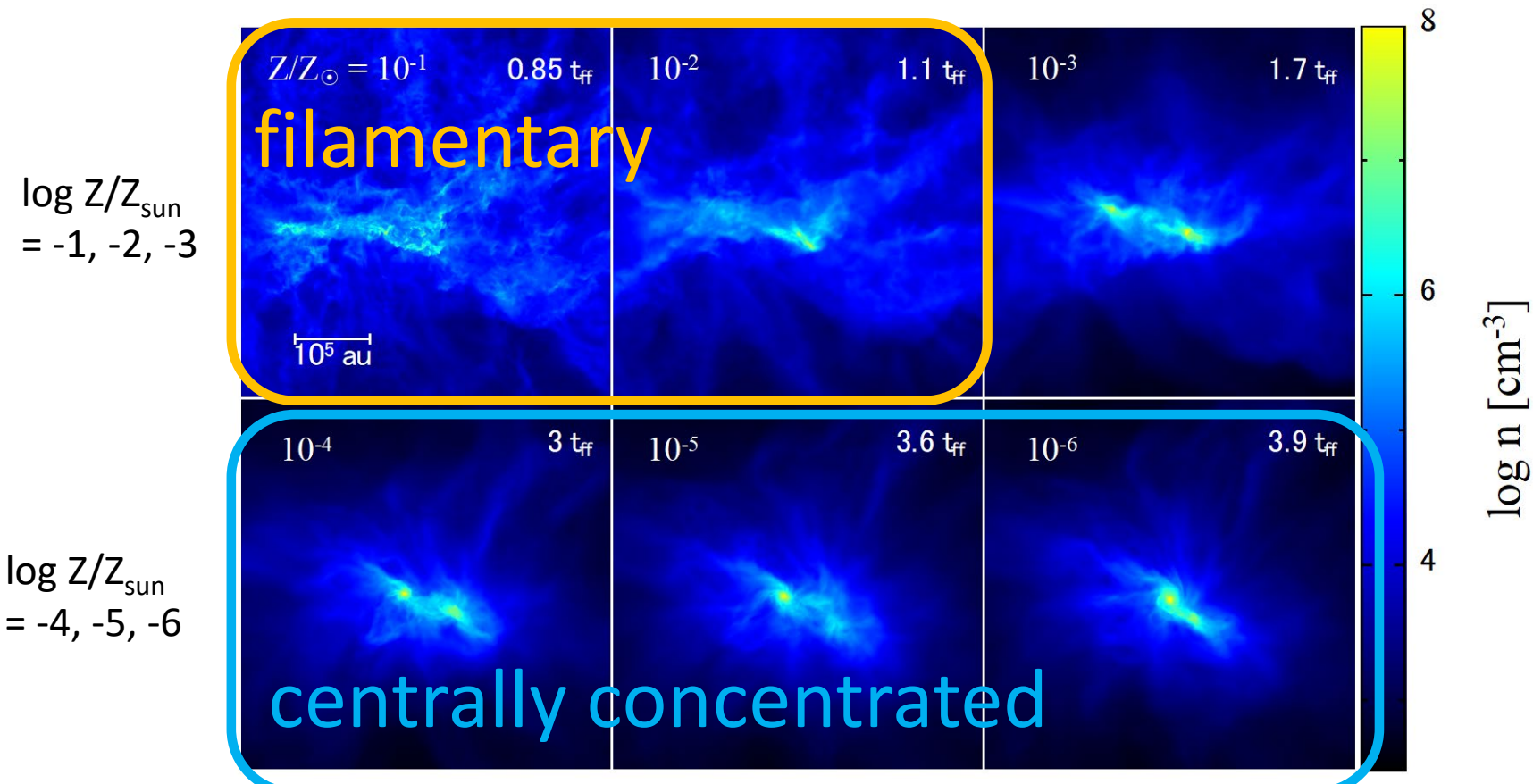


Thermal evolution of collapsing clouds



- Temperature evolution is similar to that in one-zone models.
- but somewhat lower (down to 10 K) at low densities.
← HD cooling due to delayed collapse by the turbulence

turbulence and cloud structure



$Z/Z_{\odot} > 0.01 - 0.1$: more turbulent

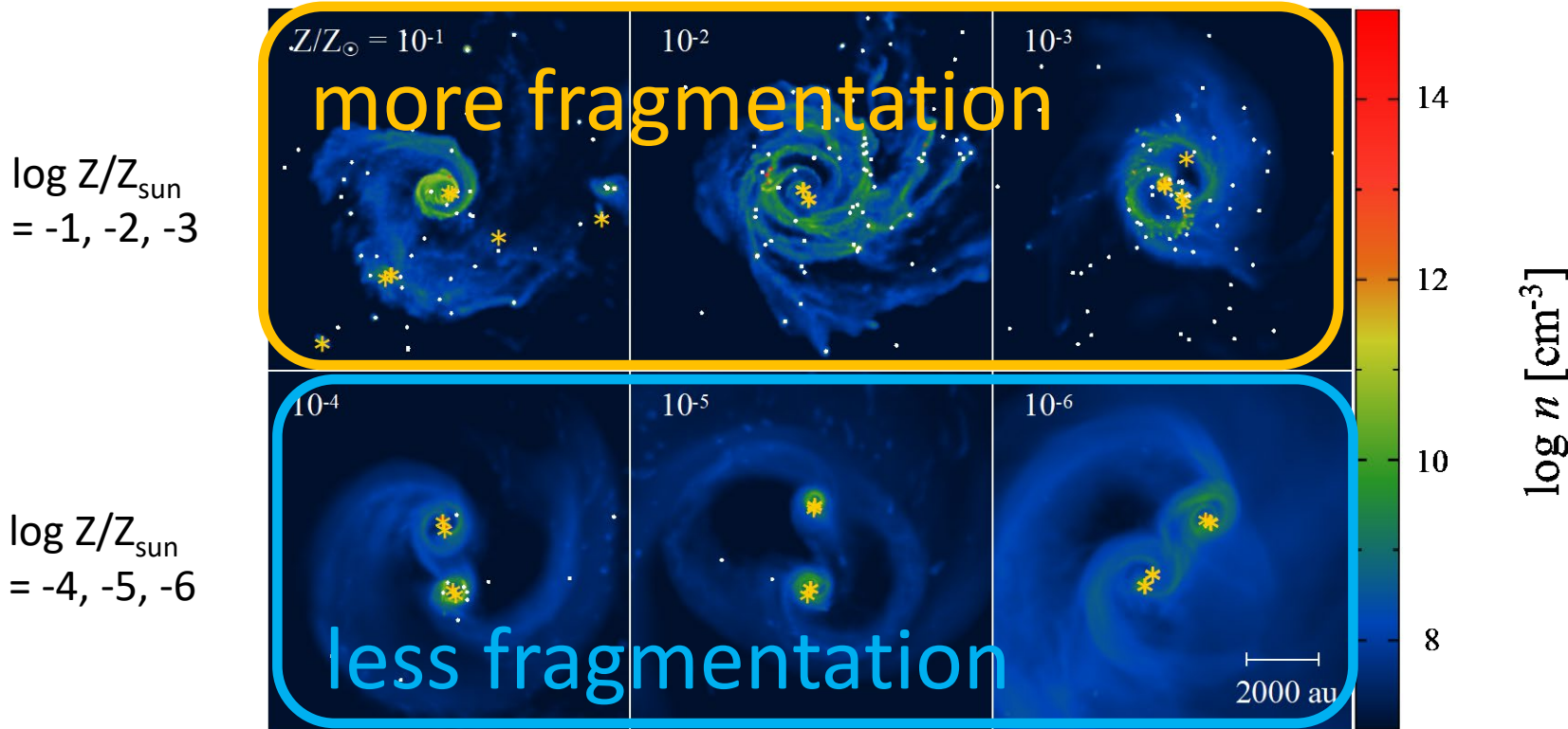
→ overall shape becomes filamentary

$Z/Z_{\odot} < 10^{-3}$: less turbulent

→ cloud becomes centrally concentrated

Fragmentation in accretion phase

At total stellar mass of $150 M_{\odot}$
(cloud mass $1950 M_{\odot}$, Star formation efficiency = 8%)



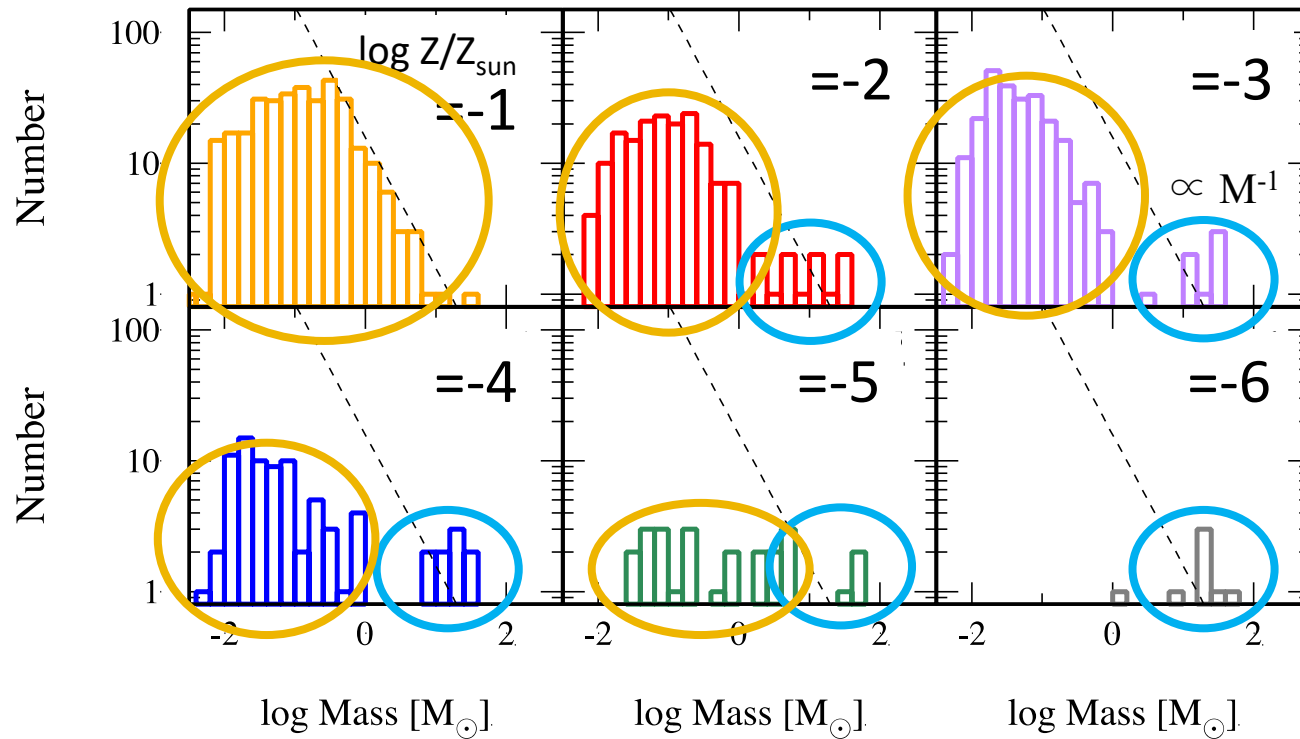
$Z/Z_{\odot} = 10^{-1}$: fragmentation of filaments rather than disk

$Z/Z_{\odot} = 10^{-3} - 10^{-2}$: disk vigorously fragments

$Z/Z_{\odot} < 10^{-4}$: disk is relatively stable

mass distribution at different metallicities

At total stellar mass of $150 M_{\odot}$
(cloud mass $1950 M_{\odot}$, Star formation efficiency = 8%)

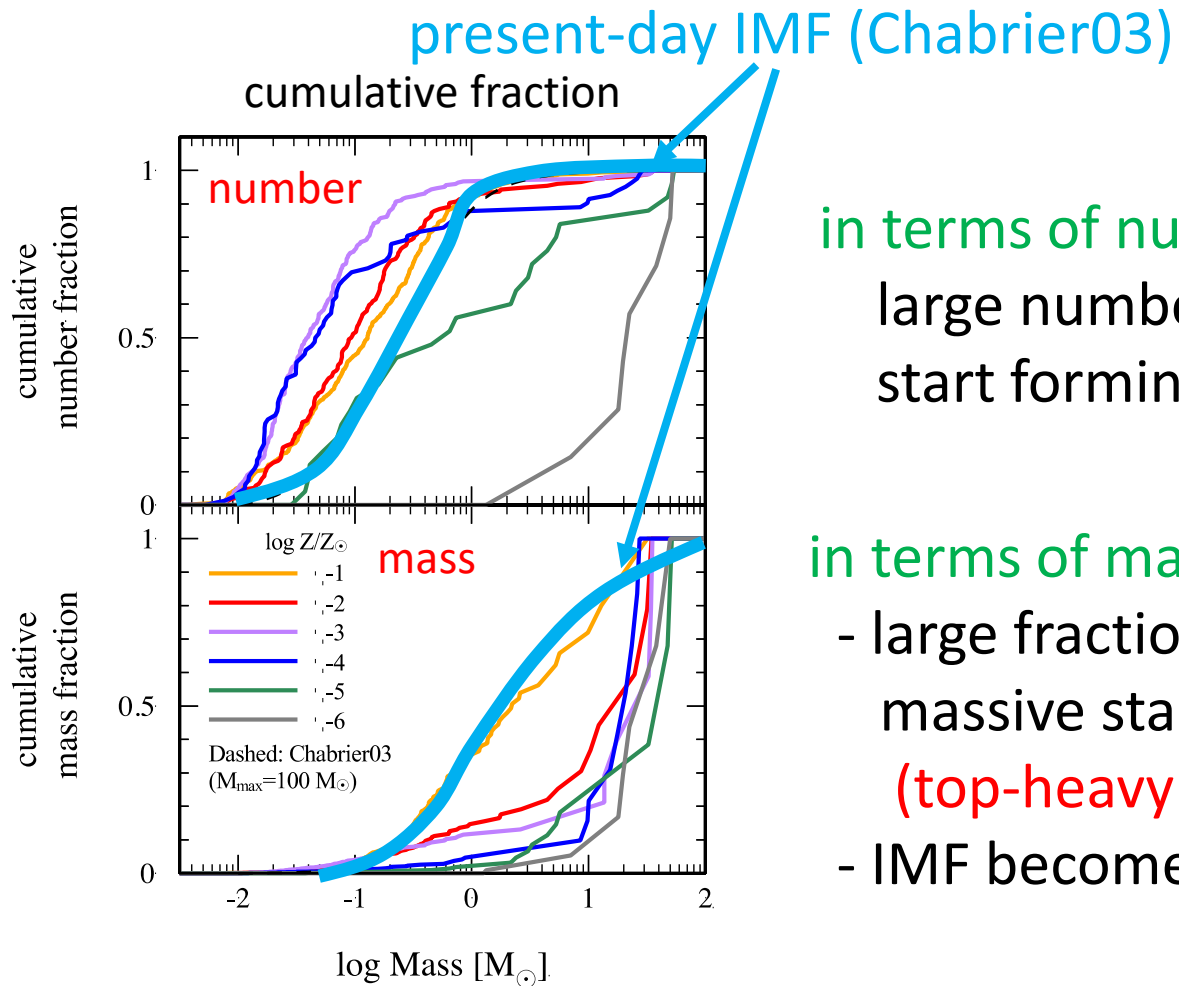


massive and low-mass components in IMF

- at $10^{-6}Z_{\text{sun}}$, only massive component

IMF transition is not abrupt, rather proceeds gradually with metallicity.

Transitional metallicity for IMF



in terms of number:

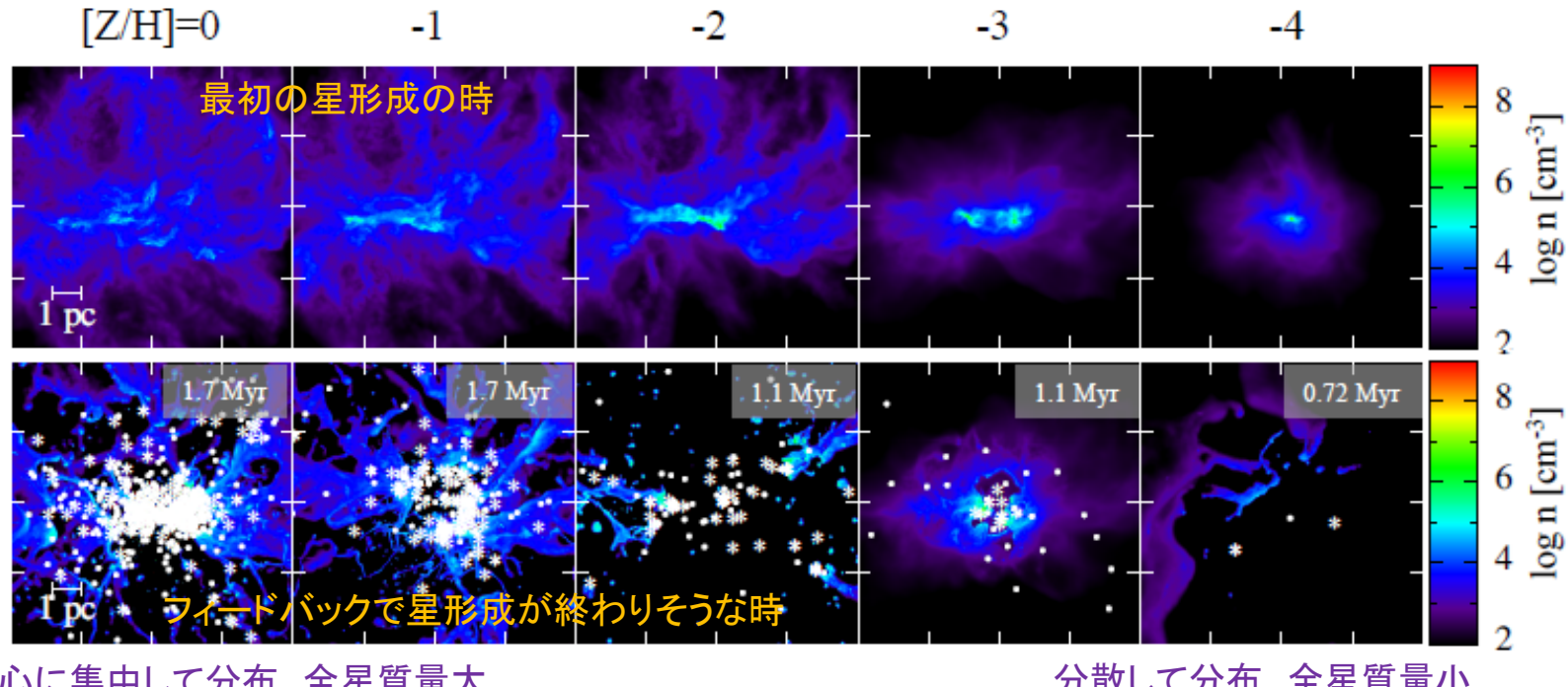
large number of low-mass stars
start forming $>10^{-5} \dots 10^{-4} Z_{\odot}$

in terms of mass:

- large fraction of mass is still in massive stars at $<10^{-2} Z_{\odot}$
(top-heavy IMF)
- IMF becomes Salpeter-like at $0.1 Z_{\odot}$

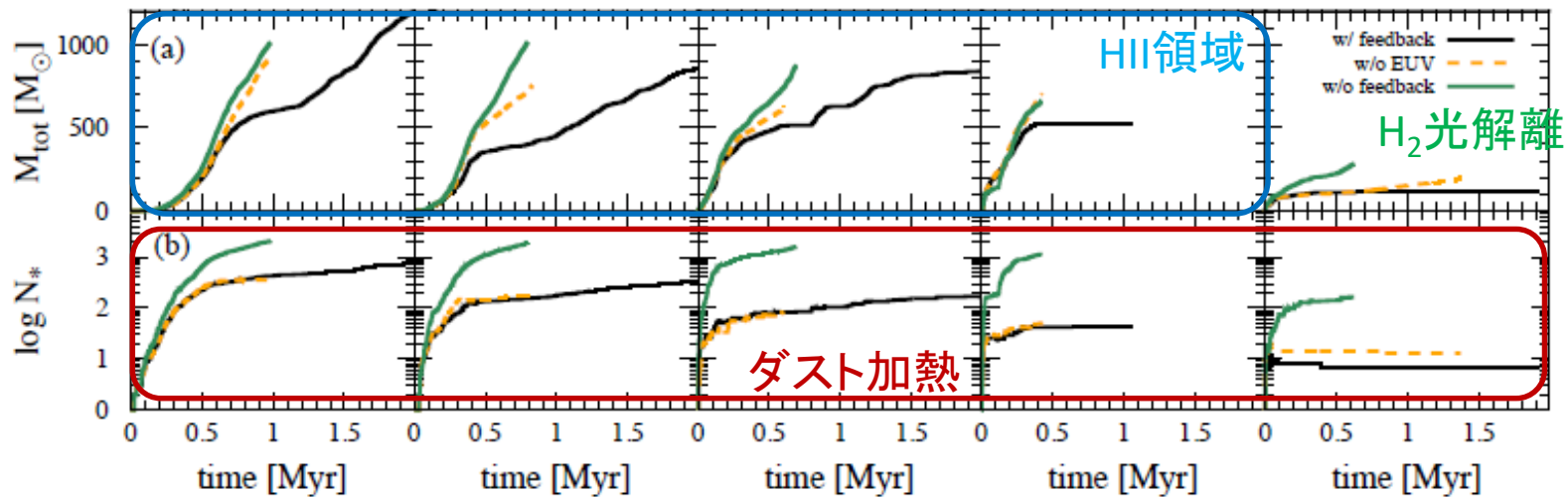
IMF transition is not abrupt, rather proceeds gradually with metallicity.

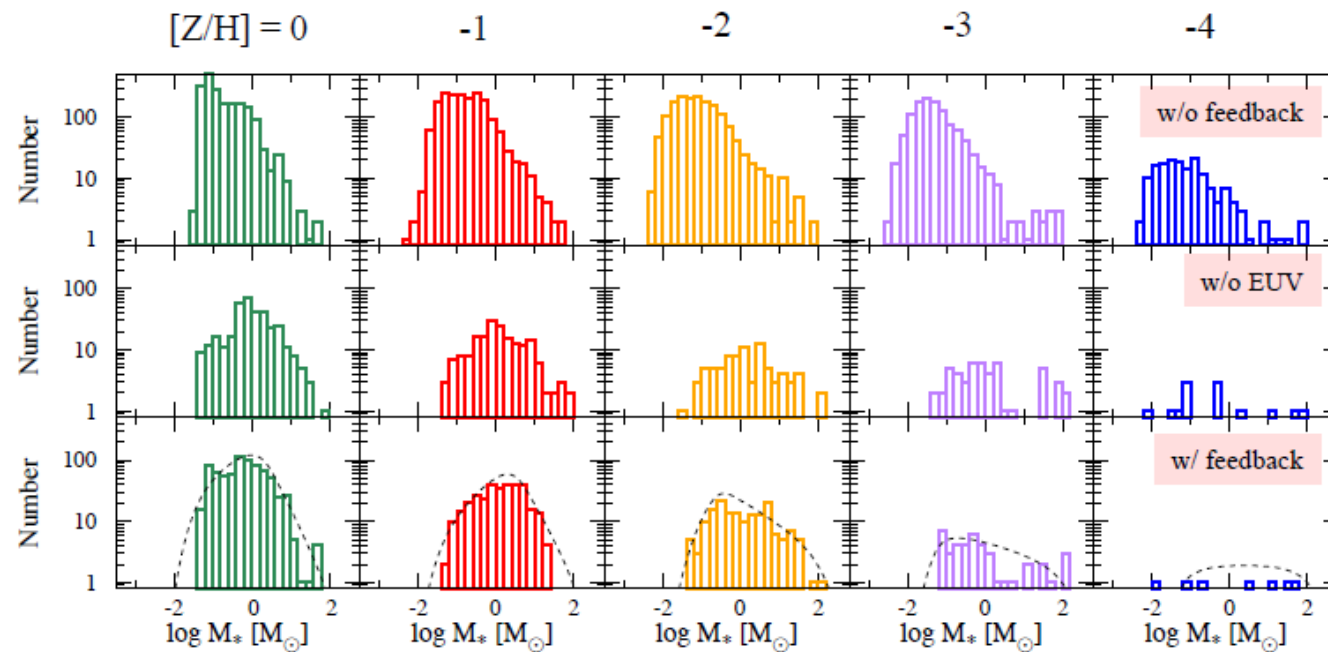
輻射フィードバックの効果



中心に集中して分布、全星質量大

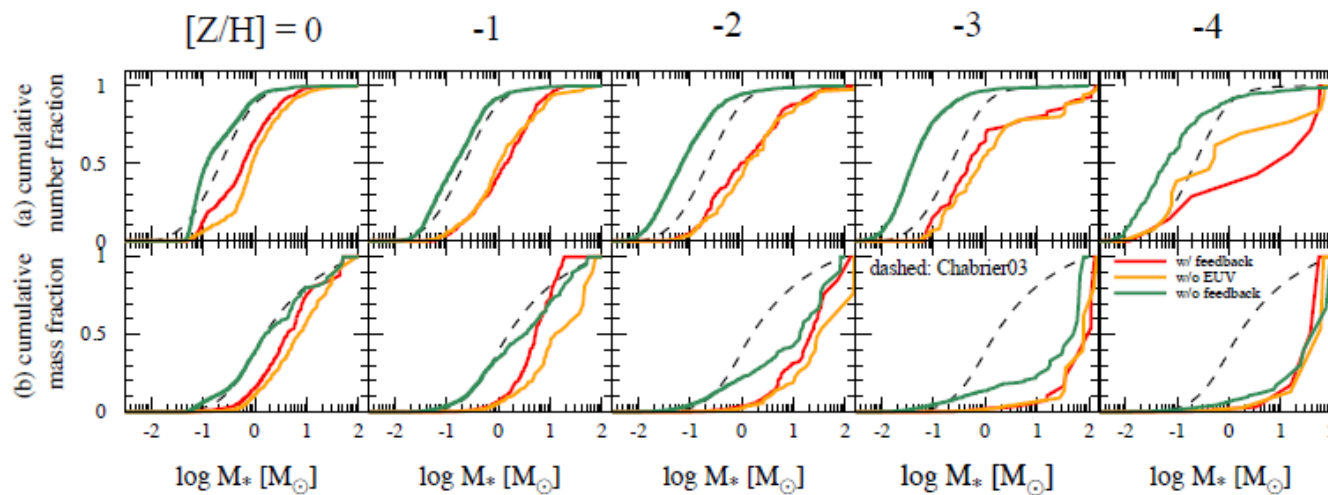
分散して分布、全星質量小





ダスト加熱により
低質量星は消滅

大質量星は電離
フィードバックで減少

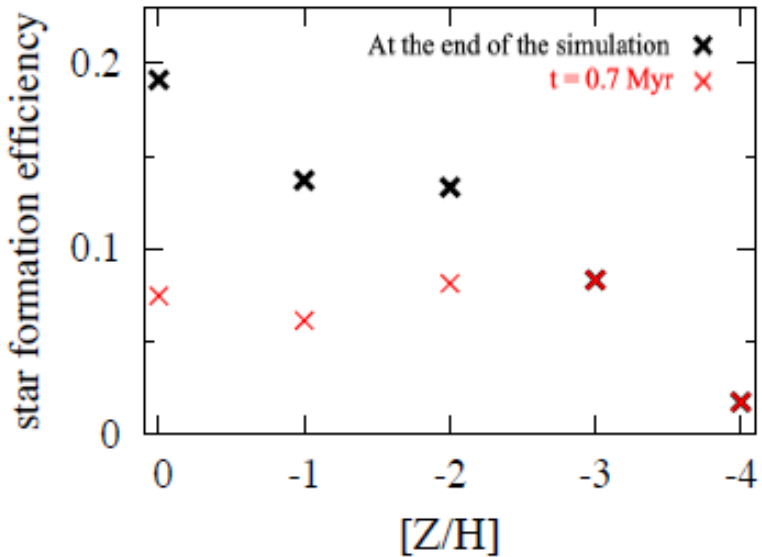


Chabrier IMFに似てくる

ほぼlog-flat的なIMF

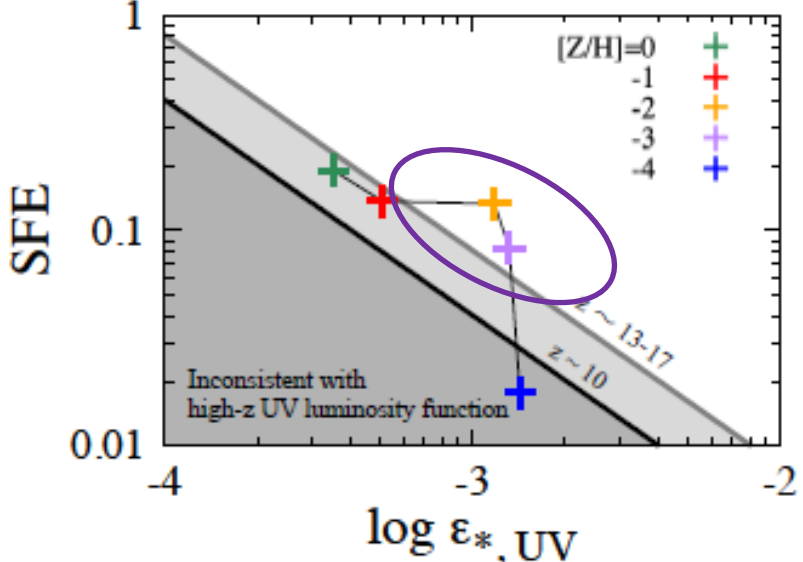
星形成効率

重元素量と星形成効率



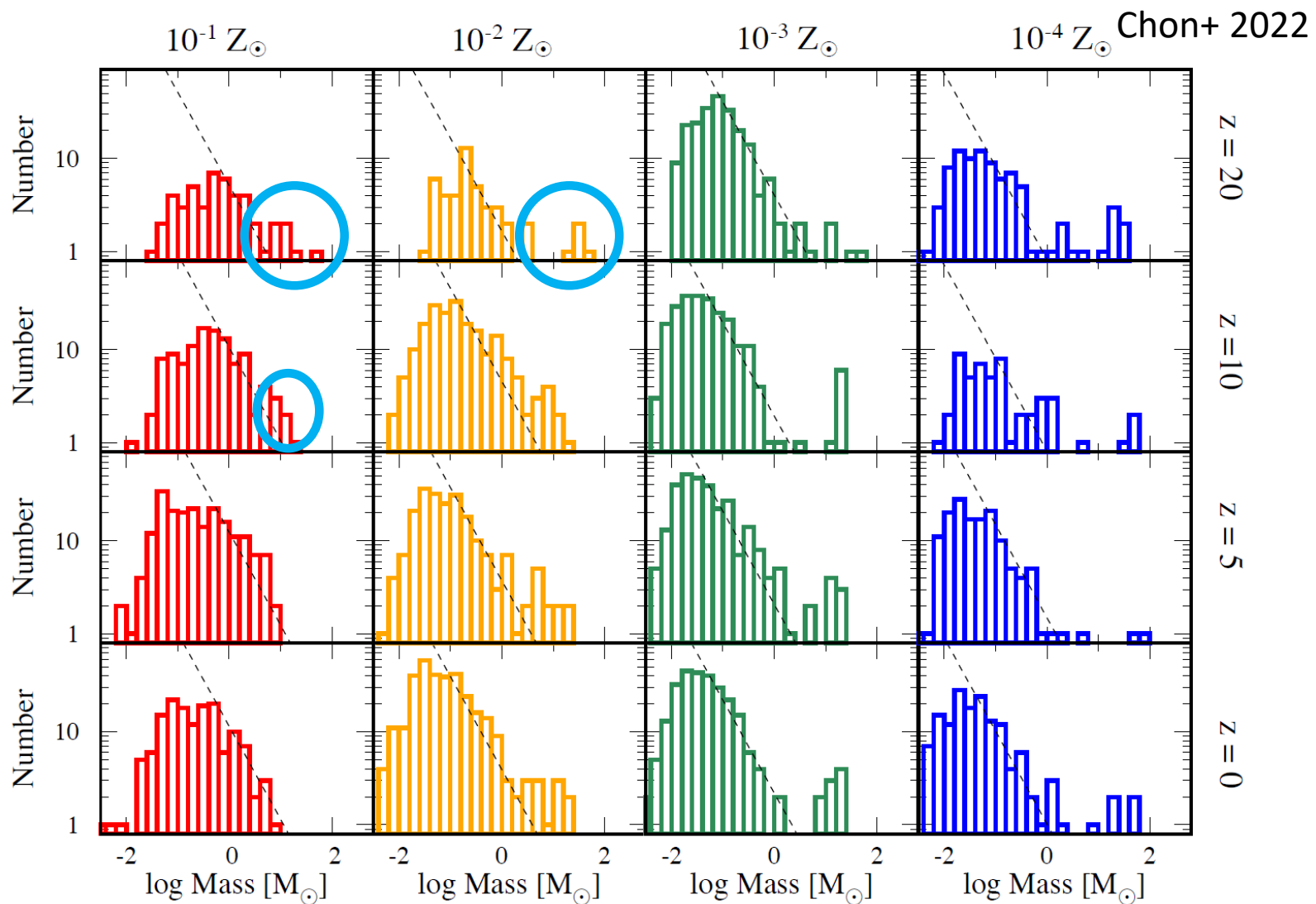
- 低金属度ほど星形成効率は下がる
- 輻射フィードバックが始まる前($t=0.7 \text{ Myr}$)はさほど重元素量によらない
- $[Z/H]=-4$ では、SFEが非常に低い

JWSTによるUVで明るい銀河数との比較



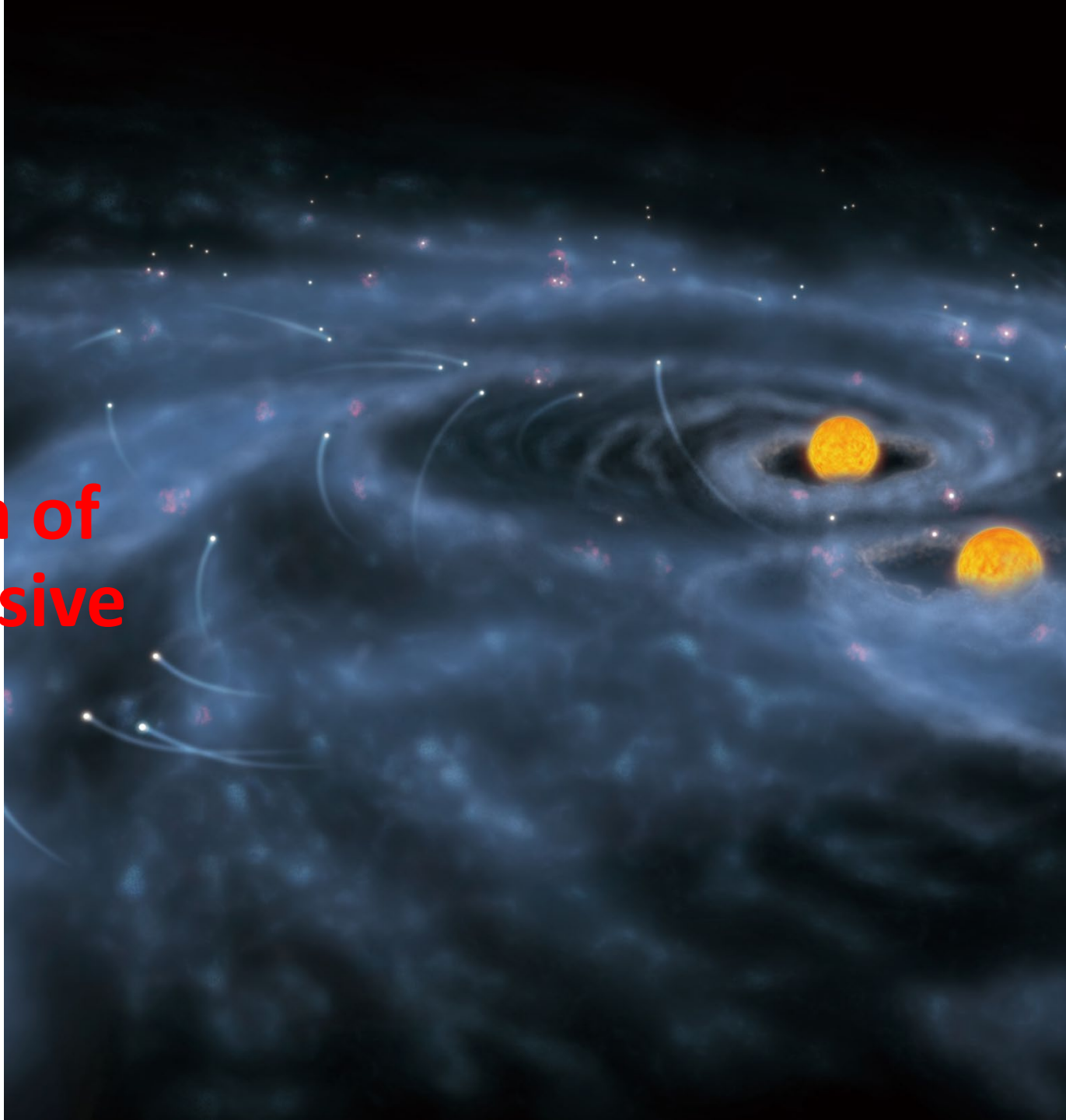
- $[Z/H]=-3\text{--}-2$ くらい top-heavy IMFかつ高いSFEで JWSTのhigh-z UV-bright 銀河数を 説明可能
- ここでSFEは初期の雲と 出来た星の質量の比(クランプスケール) なので、おそらく銀河スケールより大きい

high-z CMB effect



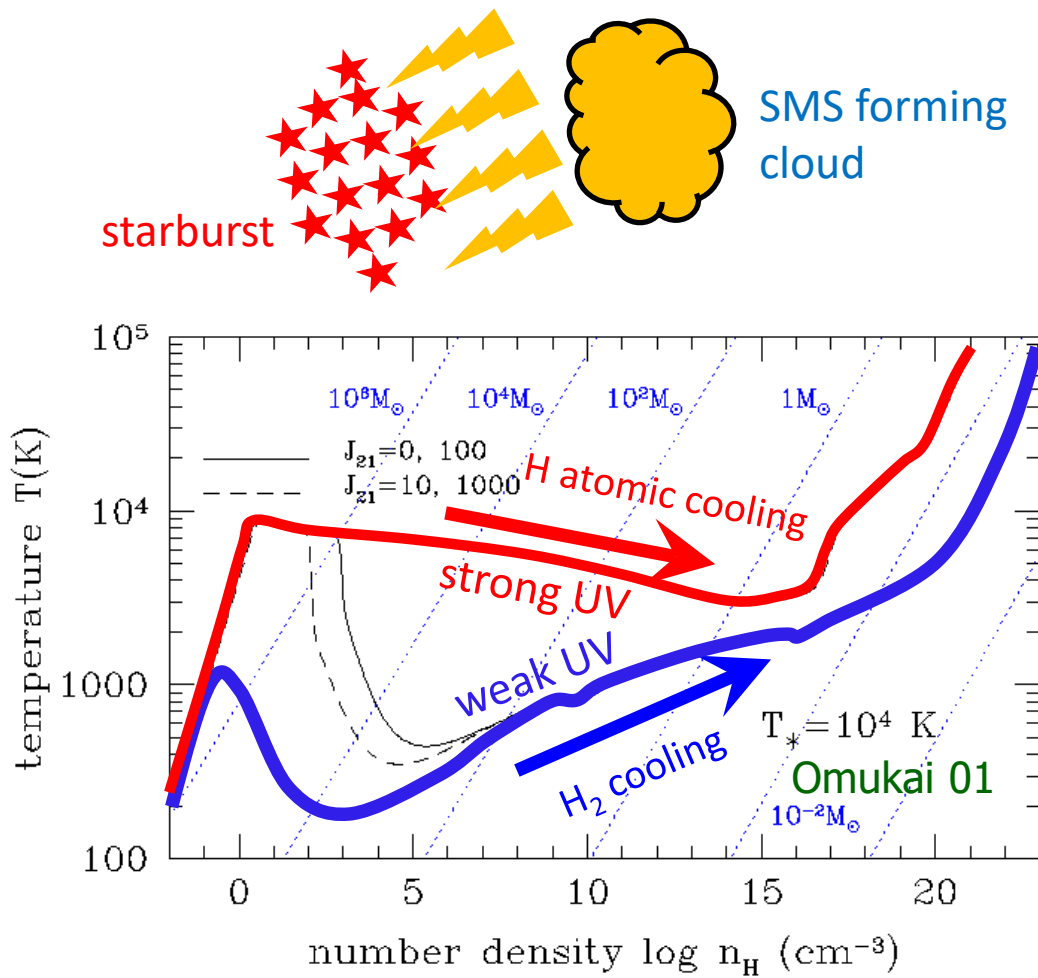
enhancement of massive stars at high-z ($>\sim 20$)
in the cases of $>0.01 Z_{\odot}$

Part III: **Formation of** **Supermassive** **Stars**



How are super-massive stars formed ?

Collapse of a massive primordial cloud in strong FUV field



It cools solely by atomic cooling and collapses isothermally at $\sim 8000\text{K}$.

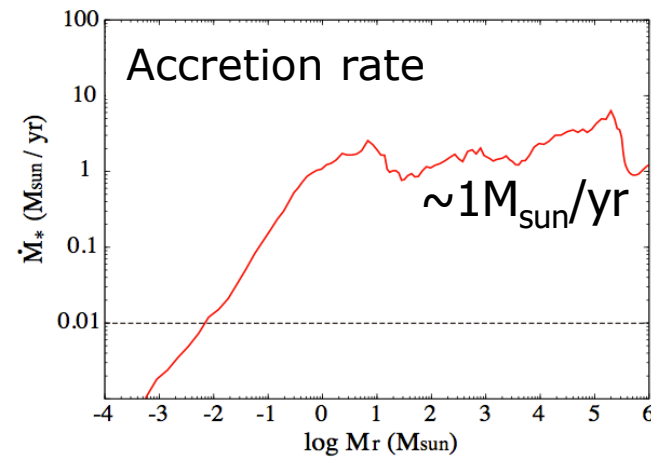
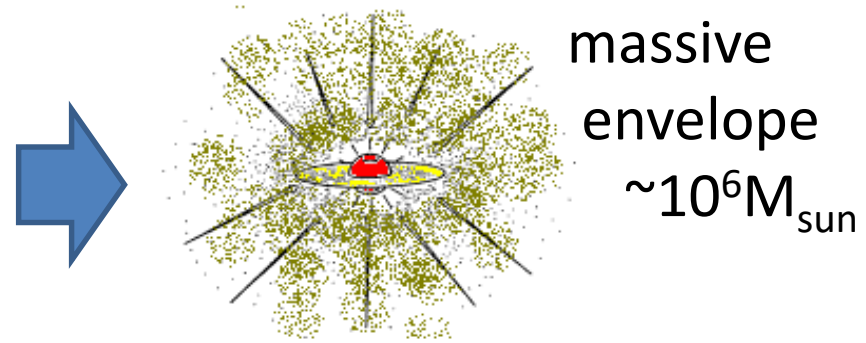
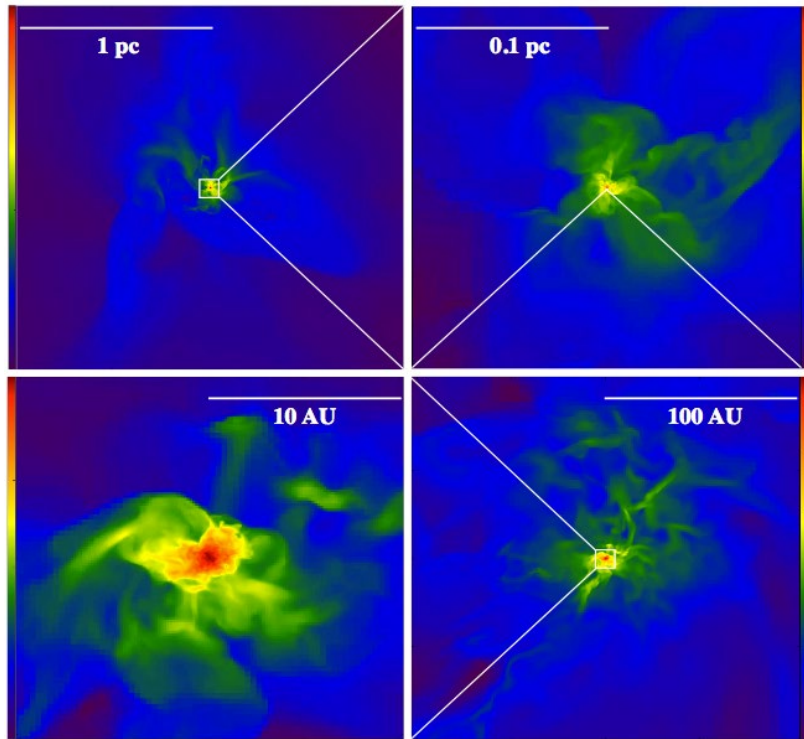
- No rapid cooling phase
→ monolithic collapse without fragmentation
 - high temperature during the collapse
→ rapid accretion in protostellar phase
- $$\frac{dM_*}{dt} \sim c_s^3/G$$
- $$\sim 0.1 M_{\text{sun}}/\text{yr} (T/10^4\text{K})^{3/2}$$

Supermassive stars ($>10^5 M_{\text{sun}}$) may form

Monolithic collapse of atomically cooling cloud

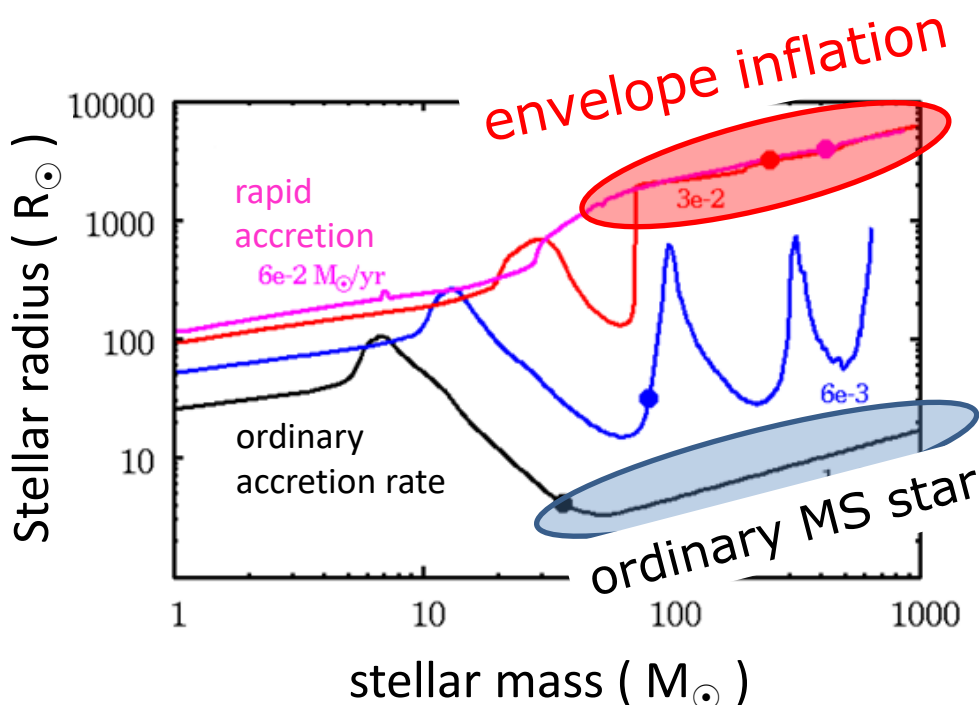
e.g., Bromm & Loeb 2003, Regan +2009

Inayoshi, Omukai & Tasker (2014)

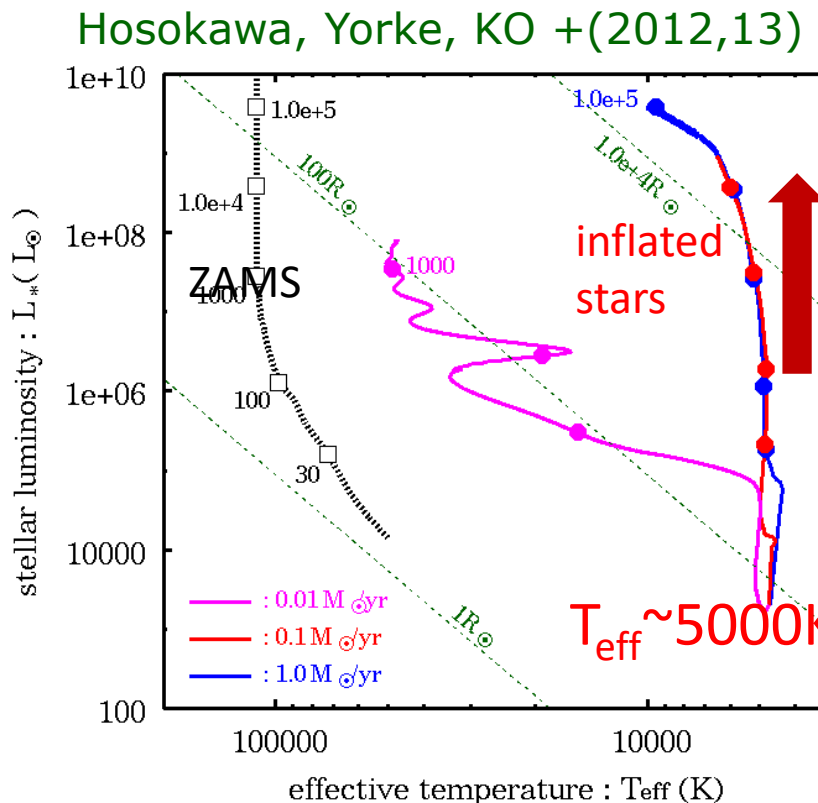


- ✓ A single massive object forms with no major episode of fragmentation
- ✓ protostar grows rapidly ($\sim 1 M_{\text{sun}}/\text{yr}$) by accretion

envelope inflation by rapid accretion



Rapid mass accretion
($> 0.01 M_\odot/\text{yr}$),
makes a protostar inflate to $\sim 10\text{au}$

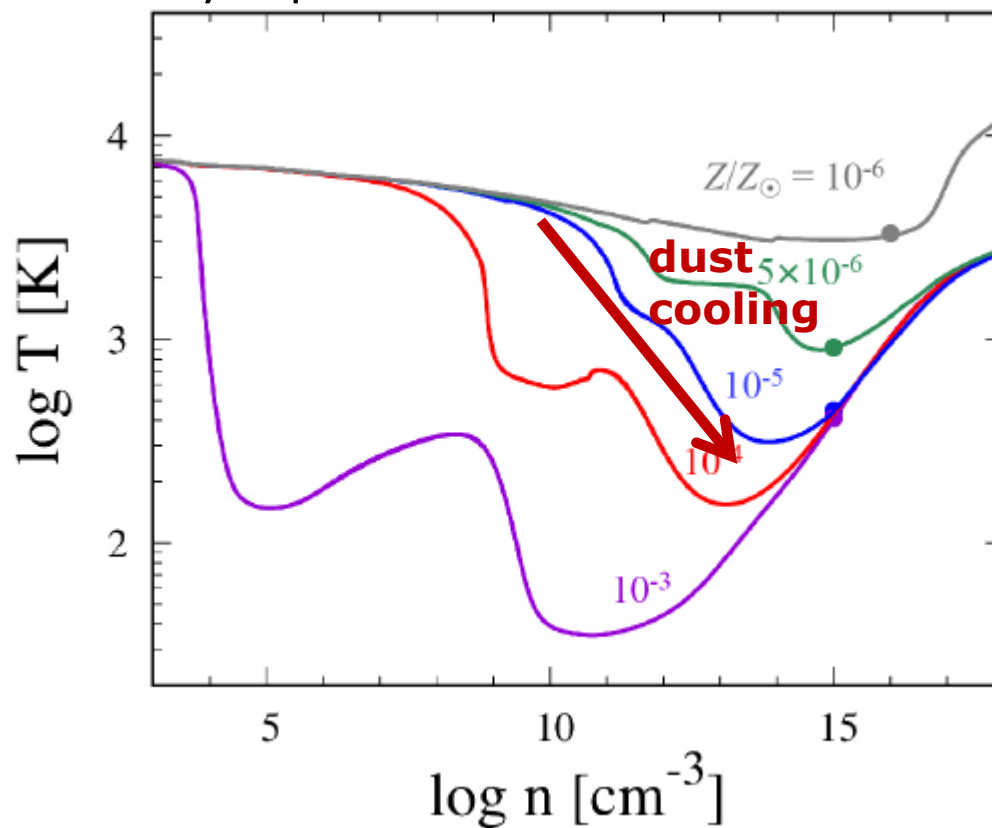


Infrared stars emit no UV
($T_{\text{eff}} = 5000\text{K}$, like red-giant stars)
 \rightarrow no UV feedback

Accretion continues unhindered.
The star becomes supermassive

What if there are some metals ?

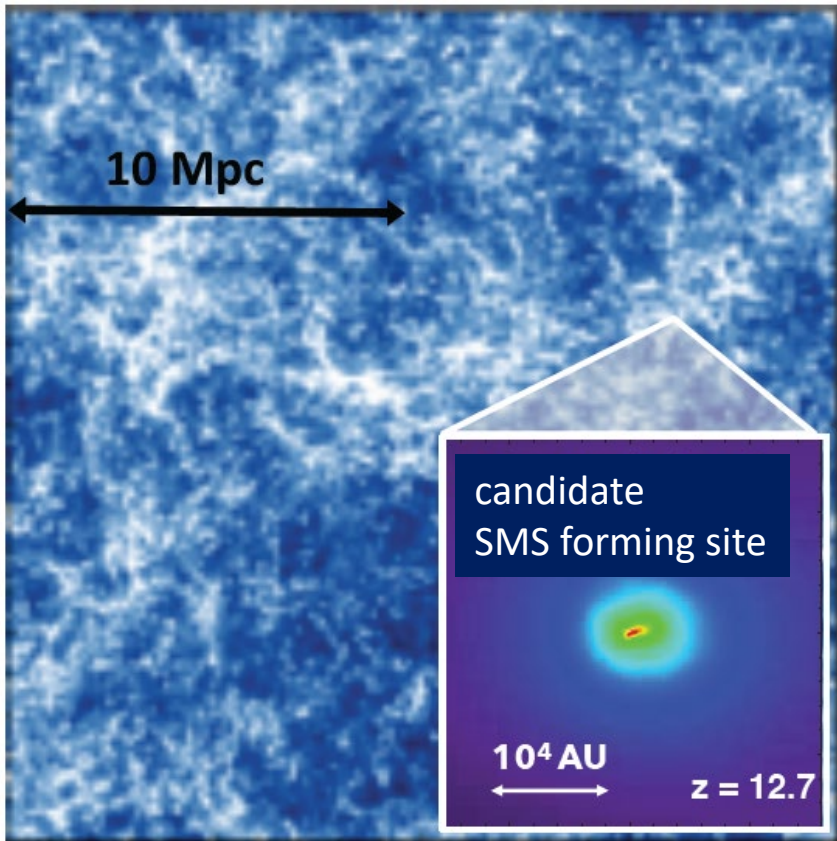
Is it really impossible to form SMSs in metal-enriched case?



For $[Z] > \sim 5$,
dust cooling causes rapid temperture drop

cloud fragments and forms a star cluster ?

Numerical Setup



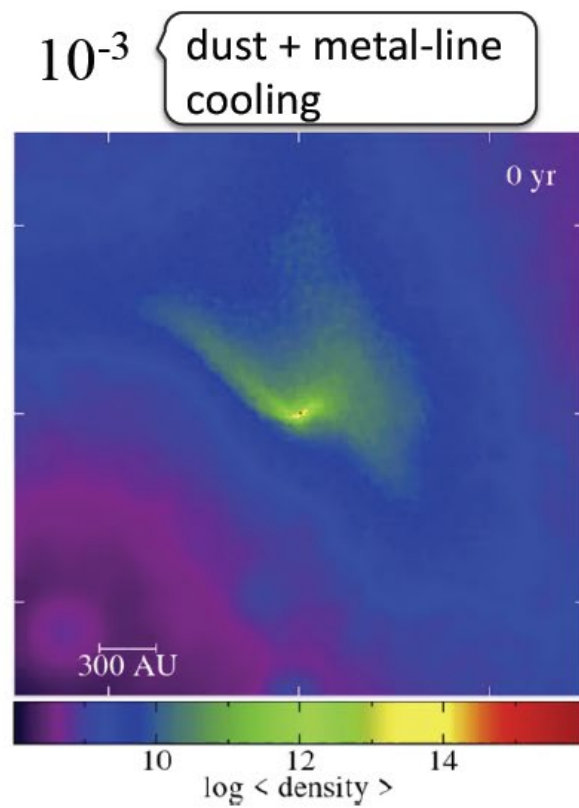
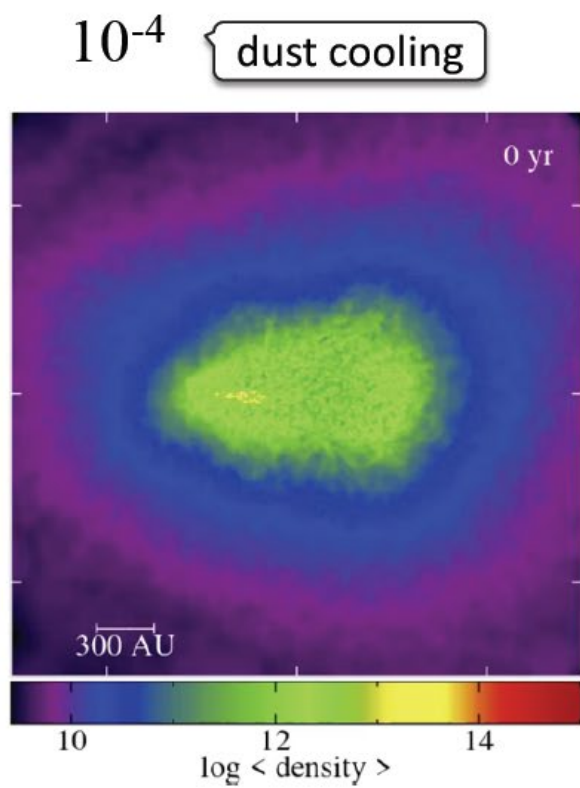
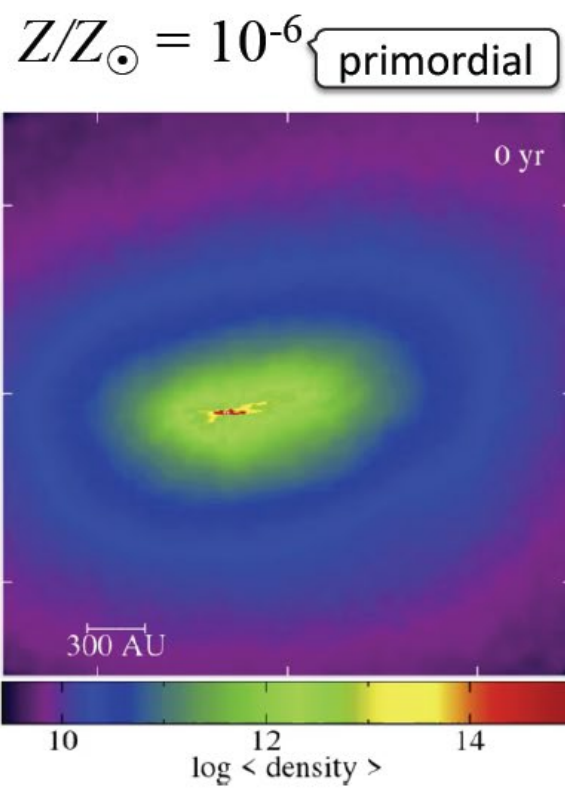
Chon & KO
2020

Initial condition:

a halo that is strongly irradiated
in cosmological simulation of
Chon et al. (2016, 18)

method

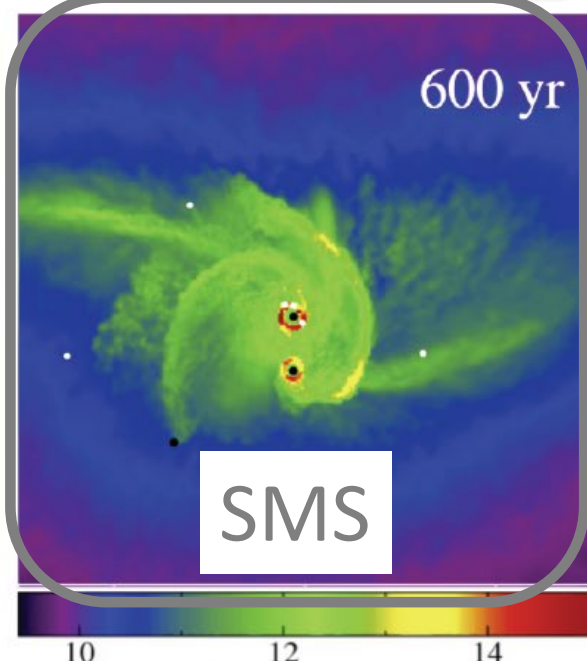
- SPH + N-body simulation
(Gadget 2)
- use barotropic EoS
- sink formation
at 2×10^{16} - $2 \times 10^{17} \text{ cm}^{-3}$



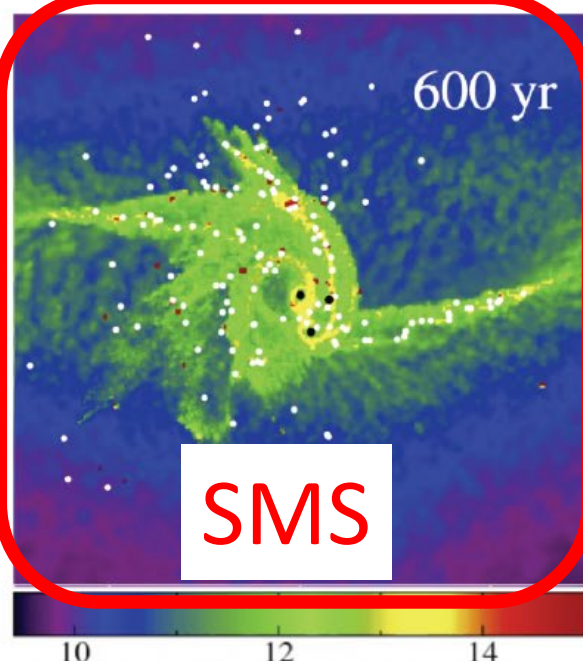
black dots $>10M_{\text{sun}}$
white dots $<10M_{\text{sun}}$

Conventional direct collapse

$$Z/Z_{\odot} = 10^{-6} \quad \text{primordial}$$

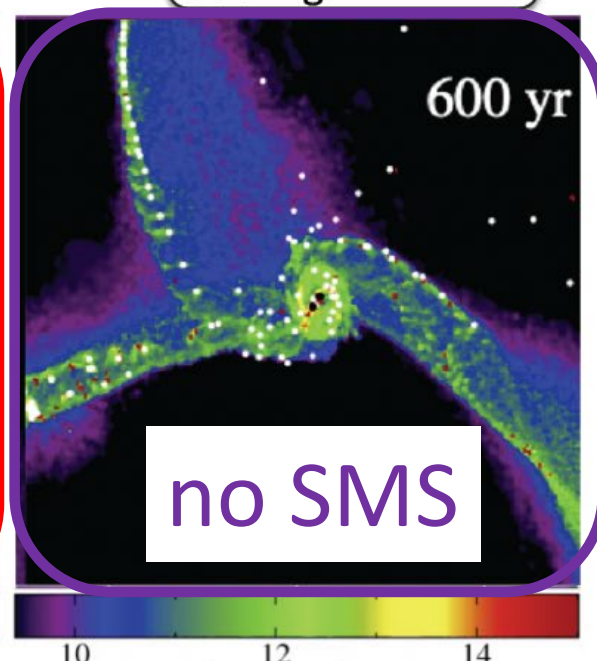


$$10^{-4} \quad \text{dust cooling}$$



star cluster formation

$$10^{-3} \quad \text{dust + metal-line cooling}$$



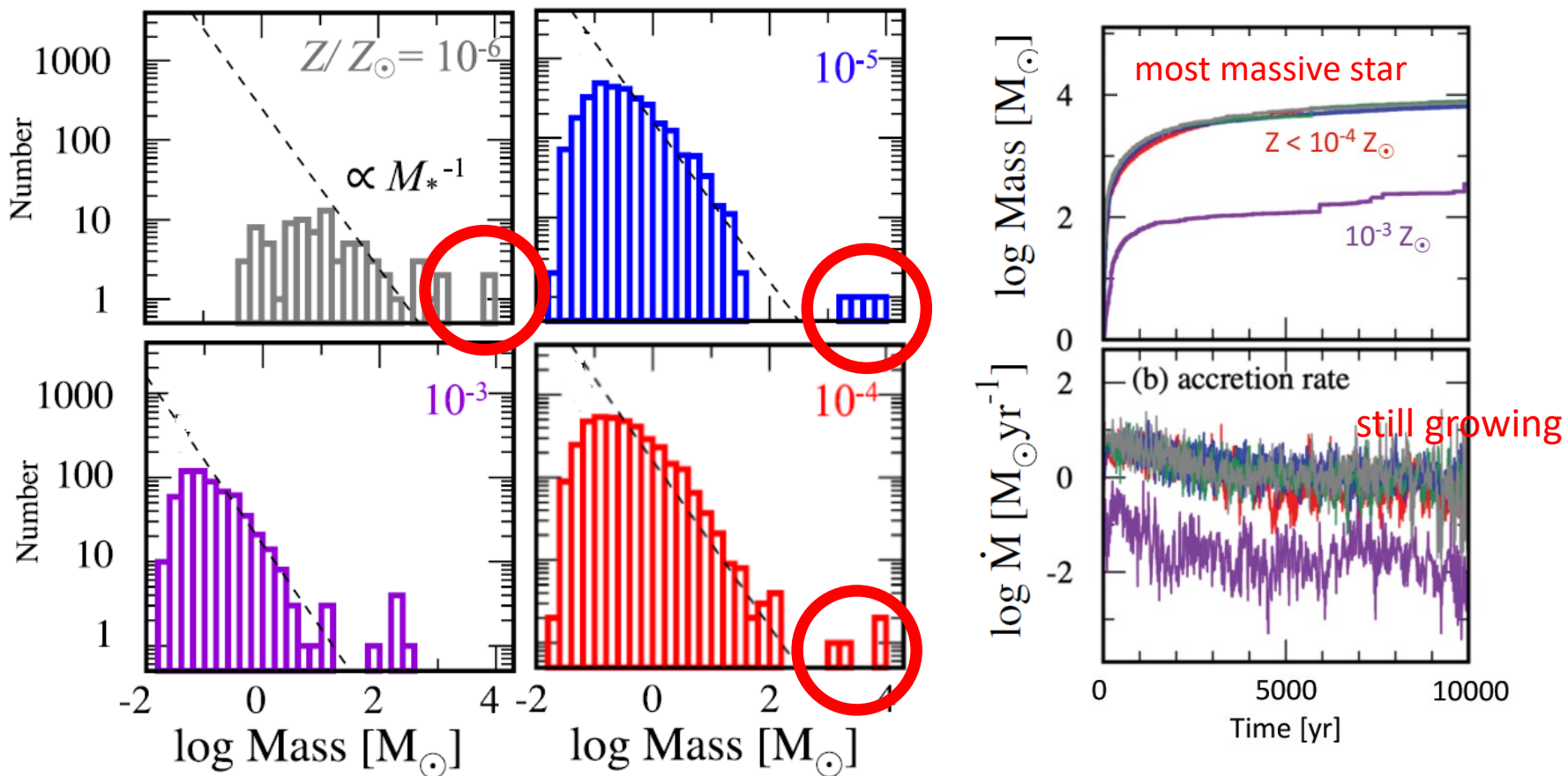
only little fragm
→ SMS formation
at the center

Super Competitive Accretion

numerous fragments
but the central star grows
supermassive

cooling
material flow
pattern
star cluster formation by
fragmentation

runaway growth of the central star



- central star accretes the gas exclusively and grows supermassive
- SMSs form along with a large number of low mass stars

SMS formation also from slightly metal-enriched gas
→ enhance the number of direct collapse BHs

Conclusion

- First stars are typically born as similar mass binaries of several 10's M_{sun} .
- IMF transition is not abrupt but proceeds gradually with increasing metallicity.
 - $\log Z/Z_{\text{sun}} > -5$: low-mass stars (Salpeter-like IMF) start to form.
 - $\log Z/Z_{\text{sun}} > -(1-2)$: massive star component disappears and IMF becomes Salpeter-like
- Supermassive stars are born in strong UV environments even with finite amount of metallicity ($\log Z/Z_{\text{sun}} < -3$) via super-competitive accretion.